

# DFT และ FFT

พินิจ กำหมอม, ENE, KMUTT

## 1 บทนำ

เทคนิคการวิเคราะห์ฟูรีเยร์ (Fourier Analysis) เป็นเทคนิคสำคัญสำหรับการวิเคราะห์ระบบและการวิเคราะห์สัญญาณ เครื่องมือสำคัญของการวิเคราะห์ฟูรีเยร์คืออนุกรมฟูรีเยร์ (Fourier Series) ที่ใช้กับการวิเคราะห์เมื่อสัญญาณเป็นสัญญาณที่เป็นคาบ (periodic signals) และการแปลงฟูรีเยร์ (Fourier Transform) ซึ่งใช้กับการวิเคราะห์ที่สัญญาณไม่เป็นคาบแต่มีพลังงานจำกัด (finite energy) ตลอดช่วงเวลา อย่างไรก็ตามการใช้อนุกรมฟูรีเยร์และการแปลงฟูรีเยร์ข้อจำกัดอยู่ 2 กรณีคือ

- เมื่อสัญญาณเป็นสัญญาณที่ได้จากการวัด (measurement) ซึ่งจะมีลักษณะที่ไม่สามารถเขียนอยู่ในรูปของฟังก์ชันแบบปิด (closed-form function) และเป็นลักษณะที่เป็นจุด ๆ (discrete) สัญญาณลักษณะนี้จะอยู่ในรูปเป็นลำดับของตัวเลข (sequences of real number) แทนด้วย  $x(n)$ ,  $n = 0, 1, 2, \dots, N - 1$  ซึ่งเรียกว่าสัญญาณแบบไม่ต่อเนื่อง (discrete signal)
- เมื่อสัญญาณเป็นสัญญาณที่ไม่อยู่ในรูปของฟังก์ชันปิด (closed-form function)

กรณีที่ 1 เป็นกรณีที่จะพบได้บ่อยในทางปฏิบัติ ซึ่งข้อจำกัดนี้สามารถแก้ปัญหได้โดยการใช้ DFT (Discrete Fourier Transform) ในการประมาณสเปกตรัมของสัญญาณที่ได้จากการวัดที่อยู่ในรูปของลำดับของตัวเลข แต่ปัญหาของการใช้ DFT ก็คือถ้าคำนวณตามนิยามของ DFT จะใช้เวลาในการคำนวณนานเกินไป ปัญหานี้แก้ได้ด้วยการใช้อัลกอริทึมชื่อ FFT (Fast Fourier Transform) ในการคำนวณ DFT ฉะนั้นเราอาจกล่าวได้ว่า **เราใช้ FFT ในการคำนวณ DFT เพื่อการประมาณสเปกตรัมของสัญญาณใด ๆ** ดังนั้นในบทความนี้เราจะตอบคำถามที่สำคัญที่ทำให้ประโยคดังกล่าวเป็นจริงคือ

- อะไรคือ DFT และเราประมาณสเปกตรัมของสัญญาณด้วย DFT ได้อย่างไร ซึ่งจะอยู่ในหัวข้อ 2
- เราใช้ FFT คำนวณ DFT ให้เร็วได้อย่างไร ซึ่งจะอยู่ในหัวข้อ 3

## 2 Discrete Fourier Transform (DFT)

### 2.1 นิยาม

DFT เป็นวิธีการแปลงลำดับของตัวเลขทั้งที่เป็นจำนวนจริงและจำนวนเชิงซ้อนจำนวน  $N$  จุด ไปอยู่ในรูปของลำดับของตัวเลขเชิงซ้อนจำนวน  $N$  จุดอีกชุดหนึ่ง โดยมีวิธีการแปลงตามสมการที่ (1)

ให้  $x(n)$ ,  $n = 0, 1, 2, \dots, N - 1$  เป็นลำดับของตัวเลขจำนวนจริง หรือลำดับของตัวเลขเชิงซ้อน และ  $X(m)$ ,  $m = 0, 1, 2, \dots, N - 1$  เป็น DFT ของ  $x(n)$

$$X(m) = \sum_{n=0}^{N-1} x(n) e^{-j2\pi nm/N}, j = \sqrt{-1} \quad (1)$$

เราอาจเรียก  $X(m)$  ว่าเป็น DFT ขนาด N จุด (N-point DFT) ของ  $x$  เพราะจำนวนจุดที่ใช้ในการคำนวณ DFT นั้นมีผลกับการใช้งาน DFT ในการประมาณสเปกตรัมของสัญญาณ ในกรณีเช่นนี้เราจะแทน  $X$  ด้วย  $X_N$

จะเห็นว่าค่าของ DFT หนึ่งจุดคือ  $X(m)$  นั้นได้จากการบวกกันของผลคูณของ  $x(n)$  กับเลขเชิงซ้อน  $e^{-j2\pi nm/N}$ ,  $n = 0, 1, 2, \dots, N - 1$  ซึ่งเป็นรากที่ N ของหนึ่ง ( $N^{\text{th}}$  root of unit) คำถามที่เราจะตอบต่อไปก็คือแล้วผลลัพธ์ที่ได้นี้มีคามหมายอะไร

## 2.2 การตีความหมายสมการ DFT

เพื่อการทำความเข้าใจเราจะเขียนสมการที่ (1) ใหม่โดยแทน  $e^{-j2\pi nm/N}$  ด้วย  $\cos 2\pi nm/N - j \sin 2\pi nm/N$  ตามสมการของออยเลอร์ (Euler's Equation) ที่บอกว่า  $e^{j\theta} = \cos \theta + j \sin \theta$  เราจะได้

$$X(m) = \sum_{n=0}^{N-1} x(n) [\cos (2\pi nm/N) - j \sin (2\pi nm/N)] \quad (2)$$

สมการที่ (2) เป็น DFT ในรูปแบบสี่เหลี่ยม (rectangular form) ซึ่งดูเหมือนว่าสมการนี้ดูยุ่งยากกว่าสมการที่ (1) ในรูปแบบเอ็กโปเนนเชียล (exponential form) แต่รูปแบบนี้จะง่ายกว่าในการทำความเข้าใจ ขั้นแรกของการทำความเข้าใจคือการพิจารณาว่า  $\cos (2\pi nm/N) - j \sin (2\pi nm/N)$  คือตัวแทนของสัญญาณแบบไซน์ความถี่  $f_m$  ที่จุด  $n$  (เราจะเห็นในภายหลังว่าค่าความถี่  $f_m$  นั้นขึ้นอยู่กับทั้ง  $m$  และความถี่ในการซิกตัวอย่างสัญญาณ  $x(t)$  มาเป็น  $x(n)$ ) โดยให้มองข้าม  $j$  ไปก่อนให้เข้าใจเพียงว่าหน้าที่ของ  $j$  คือใช้เพื่อการเปรียบเทียบเฟสของสัญญาณแบบไซน์ จะเห็นว่าค่าของ DFT หนึ่งจุดนั้น ได้มาจากการผลบวกของการคูณแบบจุดต่อจุด (dot product) ระหว่างสัญญาณแบบไซน์ความถี่  $f_m$  กับสัญญาณ  $x(n)$  ซึ่งการกระทำดังกล่าวเป็นการหาความสัมพันธ์ (correlation) ระหว่างสัญญาณ  $x$  กับสัญญาณแบบไซน์ความถี่  $f_m$  ผลก็คือเราจะได้อะไรที่เรียกว่า **องค์ประกอบสัญญาณไซน์ที่ความถี่  $f_m$  ของสัญญาณ  $x$**

เพื่อความเข้าใจที่ดีขึ้น เราจะกระจายสมการที่ (2) ในแต่ละค่าของ  $m$  สำหรับ  $N = 4$  ดังนี้

$$X(m) = \sum_{n=0}^3 x(n) [\cos (2\pi nm/4) - j \sin (2\pi nm/4)]$$

เริ่มจาก  $m = 0$  เราจะได้

$$\begin{aligned} X(0) &= x(0) \cos (2\pi \cdot 0 \cdot 0/4) - jx(0) \sin (2\pi \cdot 0 \cdot 0/4) \\ &\quad x(1) \cos (2\pi \cdot 1 \cdot 0/4) - jx(1) \sin (2\pi \cdot 1 \cdot 0/4) \\ &\quad x(2) \cos (2\pi \cdot 2 \cdot 0/4) - jx(2) \sin (2\pi \cdot 2 \cdot 0/4) \\ &\quad x(3) \cos (2\pi \cdot 3 \cdot 0/4) - jx(3) \sin (2\pi \cdot 3 \cdot 0/4) \end{aligned}$$

สำหรับ  $m = 1$  เราจะได้

$$\begin{aligned} X(1) &= x(0) \cos(2\pi \cdot 0 \cdot 1/4) - jx(0) \sin(2\pi \cdot 0 \cdot 1/4) \\ &\quad x(1) \cos(2\pi \cdot 1 \cdot 1/4) - jx(1) \sin(2\pi \cdot 1 \cdot 1/4) \\ &\quad x(2) \cos(2\pi \cdot 2 \cdot 1/4) - jx(2) \sin(2\pi \cdot 2 \cdot 1/4) \\ &\quad x(3) \cos(2\pi \cdot 3 \cdot 1/4) - jx(3) \sin(2\pi \cdot 3 \cdot 1/4) \end{aligned}$$

สำหรับ  $m = 2$  เราจะได้

$$\begin{aligned} X(2) &= x(0) \cos(2\pi \cdot 0 \cdot 2/4) - jx(0) \sin(2\pi \cdot 0 \cdot 2/4) \\ &\quad x(1) \cos(2\pi \cdot 1 \cdot 2/4) - jx(1) \sin(2\pi \cdot 1 \cdot 2/4) \\ &\quad x(2) \cos(2\pi \cdot 2 \cdot 2/4) - jx(2) \sin(2\pi \cdot 2 \cdot 2/4) \\ &\quad x(3) \cos(2\pi \cdot 3 \cdot 2/4) - jx(3) \sin(2\pi \cdot 3 \cdot 2/4) \end{aligned}$$

และสำหรับ  $m = 3$  เราจะได้

$$\begin{aligned} X(3) &= x(0) \cos(2\pi \cdot 0 \cdot 3/4) - jx(0) \sin(2\pi \cdot 0 \cdot 3/4) \\ &\quad x(1) \cos(2\pi \cdot 1 \cdot 3/4) - jx(1) \sin(2\pi \cdot 1 \cdot 3/4) \\ &\quad x(2) \cos(2\pi \cdot 2 \cdot 3/4) - jx(2) \sin(2\pi \cdot 2 \cdot 3/4) \\ &\quad x(3) \cos(2\pi \cdot 3 \cdot 3/4) - jx(3) \sin(2\pi \cdot 3 \cdot 3/4) \end{aligned}$$

เราใช้ '.' แทนการคูณเพื่อแยก  $n$  และ  $m/N$  ออกจากกัน เพราะ  $n$  ในที่นี้คือจุดของการซัดตัวอย่าง (sampling) ของสัญญาณ  $x(t)$ ,  $\cos(2\pi \cdot f_m \cdot t)$  และ  $\sin(2\pi \cdot f_m \cdot t)$  ซึ่งจะได้  $x(n)$ ,  $\cos(2\pi \cdot n \cdot m/N)$  และ  $\sin(2\pi \cdot n \cdot m/N)$  ตามลำดับ โดย  $f_m$  คือความถี่ของสัญญาณรูปแบบไซน์ที่ขึ้นอยู่ทั้งกับ  $m$  และความถี่ของการซัดตัวอย่าง (sampling frequency)

ให้  $f_s$  คือความถี่ของการซัดตัวอย่าง เพื่อความเข้าใจเราจะสมมติให้  $f_s = 500$  samples/sec กล่าวคือในหนึ่งวินาทีเราจะซัดตัวอย่างมา 500 จุด ซึ่งจะทำให้ได้ระยะเวลาระหว่างจุดซัดตัวอย่าง 2 จุดติดกัน หรือเวลาระหว่างจุด  $n-1$  และจุด  $n$  เป็น  $1/f_s = t_s = 1/500$  sec ในกรณีตัวอย่างนี้สัญญาณถูกซัดตัวอย่างมา 4 จุดซึ่งกินเวลาทั้งหมดเท่ากับ  $4t_s = 4/500$  sec เราจะพิจารณาความถี่  $f_m$  ว่ามีค่าเท่าไร

จะเห็นว่าเราซัดตัวอย่างที่จุด  $n = 0, 1, 2, 3$  ที่เวลา  $t_0 = 0, t_1 = 1 \cdot t_s, t_2 = 2 \cdot t_s$ , และ  $t_3 = 3 \cdot t_s$  ตามลำดับ พิจารณาเฉพาะสัญญาณ  $\cos 2\pi \cdot f_m \cdot t$  ผลจากการซัดตัวอย่างคือ

$$\begin{aligned} n = 0, \cos(2\pi \cdot t_0 \cdot f_m) &= \cos(2\pi \cdot 0t_s \cdot f_m) = \cos(2\pi \cdot 0 \cdot m/4) \\ n = 1, \cos(2\pi \cdot t_1 \cdot f_m) &= \cos(2\pi \cdot 1t_s \cdot f_m) = \cos(2\pi \cdot 1 \cdot m/4) \\ n = 2, \cos(2\pi \cdot t_2 \cdot f_m) &= \cos(2\pi \cdot 2t_s \cdot f_m) = \cos(2\pi \cdot 2 \cdot m/4) \\ n = 3, \cos(2\pi \cdot t_3 \cdot f_m) &= \cos(2\pi \cdot 3t_s \cdot f_m) = \cos(2\pi \cdot 3 \cdot m/4) \end{aligned}$$

แสดงว่า  $nt_s \cdot f_m = n \cdot \frac{m}{4}$  หรือ  $f_m = \frac{m}{4t_s} = \frac{mf_s}{4}$  ในกรณี  $N$  ใด ๆ เราจะได้ความถี่  $f_m$  ดังสมการ 3

$$f_m = \frac{mf_s}{N} \quad (3)$$

เราเรียกความถี่  $f_m$  ว่าความถี่วิเคราะห์ (analysis frequency) ซึ่งหมายถึงความถี่ที่เราจะใช้เป็นองค์ประกอบสัญญาณไซน์ของสัญญาณ  $x$  (sinusoidal component of  $x$ ) กล่าวคือ  $X(m)$  เป็นตัวบอกว่า องค์ประกอบสัญญาณไซน์ที่ความถี่  $f_m$  ของสัญญาณ  $x$  มีขนาดแปรตาม  $X_{mag}(m) = |X(m)|$  และมีเฟสเท่ากับ  $X_\phi = \arg X(m)$  เมื่อนำทุกองค์ประกอบสัญญาณไซน์ทุกความถี่  $f_m, m$  มีค่าตั้งแต่ 0 ถึง  $N-1$  มารวมกัน เราจะได้สัญญาณ  $x$  โดยอาจจะต้องการปรับขนาด (scaling) ให้เหมาะสม กระบวนการนำเอาองค์ประกอบสัญญาณไซน์ของ  $x$  มารวมกันเพื่อสร้าง  $x$  ก็คือฟังก์ชันอินเวอร์สของ DFT (inverse DFT) ซึ่งจะกล่าวถึงในหัวข้อ 2.8

การเขียนองค์ประกอบสัญญาณไซน์นั้นเขียนได้ทั้งแบบสี่เหลี่ยม และแบบโพลาร์ หรือเอ็กโปเนนเชียล ดังนี้

$$X(m) = X_{real}(m) + jX_{imag}(m) = X_{mag}(m)e^{jX_\phi(m)} \quad (4)$$

$$X_{mag}(m) = |X(m)| = \sqrt{X_{real}(m)^2 + X_{imag}(m)^2} \quad (5)$$

$$X_\phi(m) = \begin{cases} \arctan\left(\frac{X_{imag}(m)}{X_{real}(m)}\right), & \text{เมื่อ } X(m) \text{ อยู่ใน Q1 และ Q4} \\ \arctan\left(\frac{X_{imag}(m)}{X_{real}(m)}\right) + \pi, & \text{เมื่อ } X(m) \text{ อยู่ใน Q2 และ Q3} \end{cases} \quad (6)$$

นอกจากนี้บ่อยครั้งที่เราจะสนใจสเปกตรัมกำลัง (power spectrum) แทนสเปกตรัมความถี่ (frequency spectrum) ในกรณีนี้เราต้องการคำนวณกำลังของสัญญาณที่ความถี่  $f_m$  ตามสมการที่ (7)

$$X_{PS}(m) = X_{mag}^2 = |X(m)|^2 = X_{real}^2(m) + X_{imag}^2(m) \quad (7)$$

### 2.2.1 ตัวอย่างที่ 1: การคำนวณและการตีความหมาย DFT

เราจะใช้ตัวอย่างในการแสดงความหมายของสมการ DFT ในสมการที่ (1) และสมการที่ (2) โดยในตัวอย่างแรกนี้เราจะคำนวณ DFT ของลำดับ  $x(n)$  ที่ได้จากการซิกตัวอย่าง  $x(t)$  ซึ่งเป็นฟังก์ชันที่ได้จากการบวกกันของสัญญาณไซน์ที่ความถี่  $1 \text{ kHz}$  และ  $2 \text{ kHz}$  ดังนี้

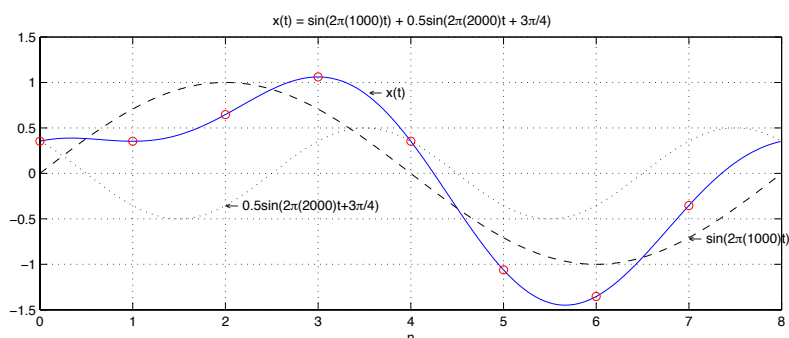
$$x(t) = \sin(2\pi(1000)t) + 0.5 \sin(2\pi(2000)t + 3\pi/4) \quad (8)$$

โดย  $x(n)$  ได้จากการซิกตัวอย่างด้วยความถี่ของการซิกตัวอย่าง  $f_s = 8000$  จุดต่อวินาที หรือระยะห่างระหว่างจุดซิกตัวอย่างสองจุดติดกันคือ

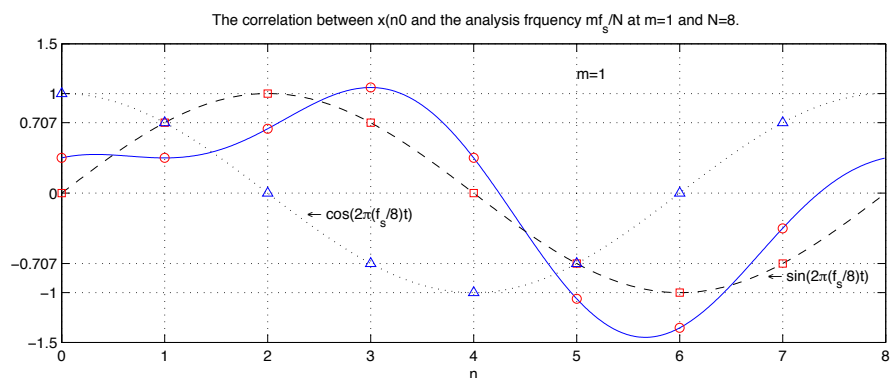
$$t_s = \frac{1}{f_s} = \frac{1}{8000} = \frac{1}{8} \text{ ms}$$

เราจะหา DFT ของ  $x(n)$  ซึ่งได้จาก  $x(t)$  ภายในเวลา 1 คาบของ  $\sin(2\pi(1000)t)$  และ 2 คาบของ  $\sin(2\pi(2000)t + 3\pi/4)$  ซึ่งเป็นเวลา  $1/1000 = 1 \text{ ms}$  จากเวลา 0 ถึง  $7t_s$  ซึ่งมีทั้งหมด 8 จุด โดย  $x(n)$  ทั้ง 8 จุดได้แก่

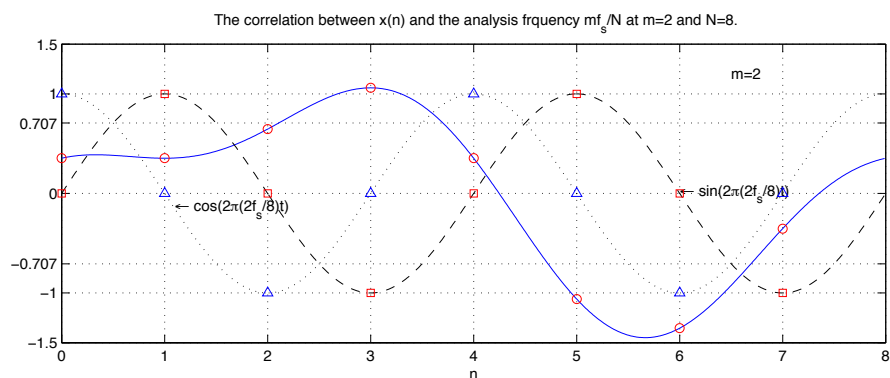
$$\begin{aligned} x(0) &= 0.3535 & x(1) &= 0.3535 \\ x(2) &= 0.6464 & x(3) &= 1.0607 \\ x(4) &= 0.3535 & x(5) &= -1.0607 \\ x(6) &= -1.3535 & x(7) &= -0.3535 \end{aligned}$$



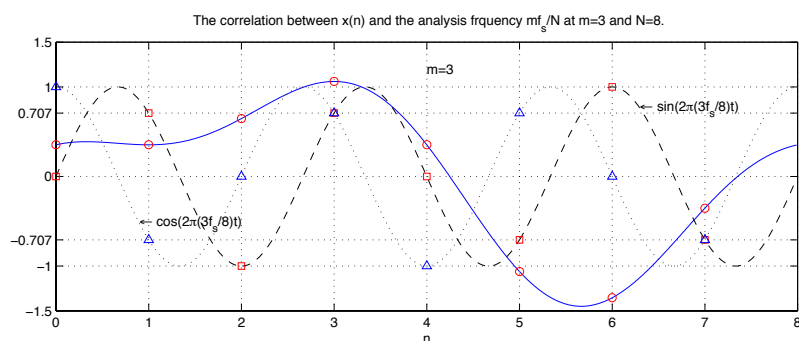
(a)  $x(t) = \sin(2\pi(1000)t) + 0.5 \sin(2\pi(2000)t + 3\pi/4)$   $x(n)$  8000



(b)  $f_m = f_s \cdot \frac{m}{N}$   $m = 1, N = 8, f_s = 8000$  samples/sec



(c)  $f_m = f_s \cdot \frac{m}{N}$   $m = 2, N = 8, f_s = 8000$  samples/sec



(d)  $f_m = f_s \cdot \frac{m}{N}$   $m = 3, N = 8, f_s = 8000$  samples/sec

รูปที่ 1: สัญญาณอินพุต  $x(t)$  และ  $x(n)$  จากการซิกตัวอย่าง และสัญญาณวิเคราะห์ที่ความถี่  $f_m = f_s \cdot \frac{m}{N}$  เมื่อ  $f_s = 8000$  sample/sec,  $N = 8$ , และ  $m = 1$  ถึง 3

รูปที่ 1(a) แสดงอินพุต  $x(t)$  และ  $x(n)$  ดังกล่าว

คำนวณ DFT ตามนิยามในสมการที่ (2) สำหรับกรณี  $m = 1$  เราจะได้

$$\begin{aligned}
 X(1) &= 0.3535 \cdot \cos(2\pi \cdot 0 \cdot 1/8) - j0.3535 \cdot \sin(2\pi \cdot 0 \cdot 1/8) + \\
 &\quad 0.3535 \cdot \cos(2\pi \cdot 1 \cdot 1/8) - j0.3535 \cdot \sin(2\pi \cdot 1 \cdot 1/8) + \\
 &\quad 0.6464 \cdot \cos(2\pi \cdot 2 \cdot 1/8) - j0.6464 \cdot \sin(2\pi \cdot 2 \cdot 1/8) + \\
 &\quad 1.0607 \cdot \cos(2\pi \cdot 3 \cdot 1/8) - j1.0607 \cdot \sin(2\pi \cdot 3 \cdot 1/8) + \\
 &\quad 0.3535 \cdot \cos(2\pi \cdot 4 \cdot 1/8) - j0.3535 \cdot \sin(2\pi \cdot 4 \cdot 1/8) + \\
 &\quad -1.0607 \cdot \cos(2\pi \cdot 5 \cdot 1/8) + j1.0607 \cdot \sin(2\pi \cdot 5 \cdot 1/8) + \\
 &\quad -1.3535 \cdot \cos(2\pi \cdot 6 \cdot 1/8) + j1.3535 \cdot \sin(2\pi \cdot 6 \cdot 1/8) + \\
 &\quad -0.3535 \cdot \cos(2\pi \cdot 7 \cdot 1/8) + j0.3535 \cdot \sin(2\pi \cdot 7 \cdot 1/8) \\
 X(1) &= 0.3535(1) - j0.3535(0) + \\
 &\quad 0.3535(0.707) - j0.3535(0.707) + \\
 &\quad 0.6464(0) - j0.6464(1) + \\
 &\quad 1.0607(-0.707) - j1.0607(0.707) + \\
 &\quad 0.3535(-1) - j0.3535(0) + \\
 &\quad -1.0607(-0.707) + j1.0607(-0.707) + \\
 &\quad -1.3535(0) + j1.3535(-1) + \\
 &\quad -0.3535(0.707) + j0.3535(-0.707) \\
 &= 0.0 - j4.0 = 4e^{-j\pi/2} = 4\angle -90^\circ
 \end{aligned}$$

จะเห็นว่าการคำนวณนี้เป็นผลรวมของผลคูณกันระหว่าง  $x(n)$  กับ  $y(n)$  สำหรับทุกจุดของ  $n = 0, 1, 2, \dots, 7$  เมื่อ

$$\begin{aligned}
 y(n) &= \cos(2\pi \cdot n \cdot 1/8) - j \sin(2\pi \cdot n \cdot 1/8) \\
 &= y_r(n) + jy_i(n) \\
 y_r(n) &= \cos(2\pi \cdot n \cdot 1/8) \\
 y_i(n) &= -\sin(2\pi \cdot n \cdot 1/8)
 \end{aligned}$$

ซึ่ง  $y(n)$  นี้เป็นสัญญาณไซน์ที่ความถี่  $f_1 = \frac{1 \cdot f_s}{8}$  ตารางที่ 2 แสดงการคำนวณ  $X(m)$  ในกรณี  $m = 1$  นี้ ผลของการคำนวณนี้เป็นค่าความสัมพันธ์ (correlation) ของ  $x(n)$  กับ  $y(n)$  และเนื่องจากสัญญาณ  $y(n)$  เป็นสัญญาณไซน์ขนาดเท่ากับ 1 ที่ความถี่  $f_1$  ผลของการ correlation ดังกล่าวก็คือขององค์ประกอบของ  $x(n)$  บนสัญญาณไซน์ความถี่  $\frac{1 \cdot f_s}{8}$  รูปที่ 1(b) แสดงการ correlation ของ  $x(n)$  กับสัญญาณไซน์ความถี่  $\frac{1 \cdot f_s}{8}$

ทำนองเดียวกันเมื่อ  $m = 2$  เราจะได้

$$\begin{aligned}
 X(2) &= 0.3535 \cdot \cos(2\pi \cdot 0 \cdot 2/8) - j0.3535 \cdot \sin(2\pi \cdot 0 \cdot 2/8) + \\
 &\quad 0.3535 \cdot \cos(2\pi \cdot 1 \cdot 2/8) - j0.3535 \cdot \sin(2\pi \cdot 1 \cdot 2/8) + \\
 &\quad 0.6464 \cdot \cos(2\pi \cdot 2 \cdot 2/8) - j0.6464 \cdot \sin(2\pi \cdot 2 \cdot 2/8) + \\
 &\quad 1.0607 \cdot \cos(2\pi \cdot 3 \cdot 2/8) - j1.0607 \cdot \sin(2\pi \cdot 3 \cdot 2/8) + \\
 &\quad 0.3535 \cdot \cos(2\pi \cdot 4 \cdot 2/8) - j0.3535 \cdot \sin(2\pi \cdot 4 \cdot 2/8) + \\
 &\quad -1.0607 \cdot \cos(2\pi \cdot 5 \cdot 2/8) + j1.0607 \cdot \sin(2\pi \cdot 5 \cdot 2/8) + \\
 &\quad -1.3535 \cdot \cos(2\pi \cdot 6 \cdot 2/8) + j1.3535 \cdot \sin(2\pi \cdot 6 \cdot 2/8) + \\
 &\quad -0.3535 \cdot \cos(2\pi \cdot 7 \cdot 2/8) + j0.3535 \cdot \sin(2\pi \cdot 7 \cdot 2/8) \\
 X(2) &= 0.3535(1) - j0.3535(0) + \\
 &\quad 0.3535(0) - j0.3535(1) + \\
 &\quad 0.6464(-1) - j0.6464(0) + \\
 &\quad 1.0607(0) - j1.0607(-1) + \\
 &\quad 0.3535(1) - j0.3535(0) + \\
 &\quad -1.0607(0) + j1.0607(1) + \\
 &\quad -1.3535(-1) + j1.3535(0) + \\
 &\quad -0.3535(0) + j0.3535(-1) \\
 &= 1.414 - j1.414 = 2e^{j\pi/4} = 2\angle 45^\circ
 \end{aligned}$$

ซึ่งเป็นผลบวกของ  $x(n)$  กับ  $y(n)$  สำหรับทุกค่า  $n = 0, 1, 2, \dots, 7$  เมื่อ

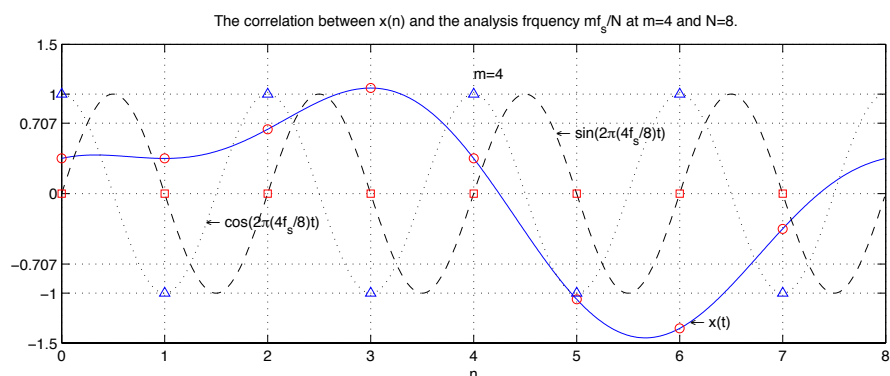
$$\begin{aligned}
 y(n) &= \cos(2\pi \cdot n \cdot 2/8) - j \sin(2\pi \cdot n \cdot 2/8) \\
 &= y_r(n) + jy_i(n) \\
 y_r(n) &= \cos(2\pi \cdot n \cdot 2/8) \\
 y_i(n) &= -\sin(2\pi \cdot n \cdot 2/8)
 \end{aligned}$$

โดย  $y(n)$  นี้เป็นสัญญาณไซน์ที่มีความถี่  $f_2 = \frac{2 \cdot f_s}{8}$  ตารางที่ 1 แสดงการคำนวณ  $X(m)$  ในกรณี  $m = 2$  นี้ และผลของการคำนวณนี้เป็นค่าความสัมพันธ์ (correlation) ของ  $x(n)$  กับ  $y(n)$  และเนื่องจากสัญญาณ  $y(n)$  เป็นสัญญาณไซน์ขนาดเท่ากับ 1 ที่ความถี่  $\frac{2 \cdot f_s}{8}$  ผลของการ correlation ดังกล่าวก็คือขององค์ประกอบของ  $x(n)$  บนสัญญาณไซน์ความถี่  $\frac{2 \cdot f_s}{8}$  รูปที่ 1(c) แสดงการ correlation ของ  $x(n)$  กับสัญญาณไซน์ความถี่  $\frac{2 \cdot f_s}{8}$

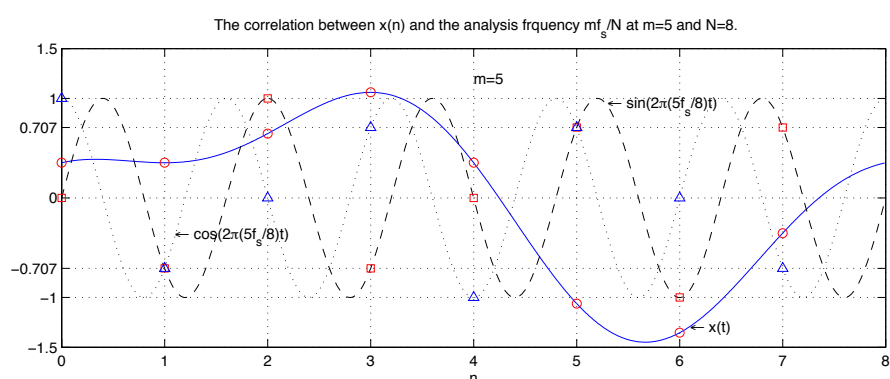
การคำนวณที่  $m$  ค่าอื่น ๆ ก็เช่นเดียวกัน ตารางที่ 3 ถึง ตารางที่ 7 สรุปการคำนวณดังกล่าว และรูปที่ 1(d) ถึง 2(d) แสดงการ correlation ของ  $x(n)$  กับสัญญาณไซน์ความถี่  $\frac{m \cdot f_s}{8}$  เมื่อ  $m = 3$  ถึง 7 ตามลำดับ

จากตัวอย่างการคำนวณ DFT เราจะเห็นว่าการคำนวณ DFT หนึ่งจุด หรือการคำนวณ  $X(m)$  นั้นหาได้จาก

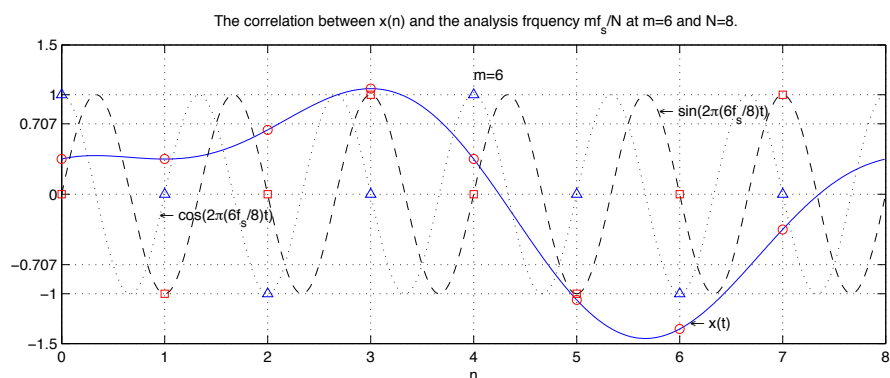
1. คำนวณส่วนจริงของ  $X(m)$  หรือ  $X_{real}(m)$  โดยการคูณ  $x(n)$  และ  $y_r(n) = \cos(2\pi \cdot \frac{m \cdot f_s}{N} \cdot nt_s)$  สำหรับทุกค่าของ  $n$  แบบจุดต่อจุด แล้วรวมผลคูณทั้งหมด ข้อสังเกตที่สำคัญคือ  $y_r(n)$  เป็นสัญญาณ



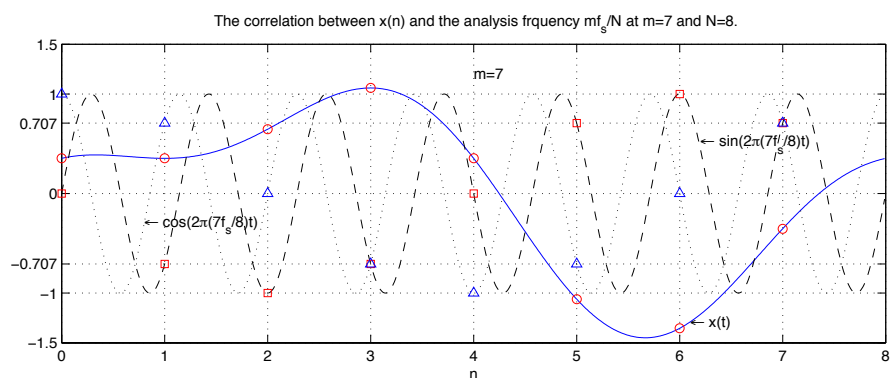
(a)  $f_m = f_s \cdot \frac{m}{N}$   $m = 4, N = 8, f_s = 8000$  samples/sec



(b)  $f_m = f_s \cdot \frac{m}{N}$   $m = 5, N = 8, f_s = 8000$  samples/sec



(c)  $f_m = f_s \cdot \frac{m}{N}$   $m = 6, N = 8, f_s = 8000$  samples/sec



(d)  $f_m = f_s \cdot \frac{m}{N}$   $m = 7, N = 8, f_s = 8000$  samples/sec

รูปที่ 2: สัญญาณวิเคราะห์ที่มีความถี่  $f_m = f_s \cdot \frac{m}{N}$ ,  $f_s = 8000$  sample/sec,  $N = 8$ , และ  $m = 4$  ถึง 7



ตารางที่ 1: การคำนวณ DFT ของตัวอย่างที่ 1 สำหรับ  $m = 1$ 

n	$x(n)$	$y_r(n) = \cos\left(2\pi \cdot \frac{1}{8} \cdot n\right)$	$x(n)y_r(n)$	$y_i(n) = -\sin\left(2\pi \cdot \frac{1}{8} \cdot n\right)$	$x(n)y_i(n)$
0	0.3535	1.0	0.3535	0.0	0.0
1	0.3535	0.707	0.25	-0.707	-0.25
2	0.6464	0.0	0.0	-1.0	-0.6464
3	1.0607	-0.707	-0.75	-0.707	-0.75
4	0.3535	-1.0	-0.3535	0.0	0.0
5	-1.0607	-0.707	0.75	0.707	-0.75
6	-1.3535	0.0	0.0	1.0	-1.3535
7	-0.3535	0.707	-0.25	0.707	-0.25
$X_{real}(6) = \sum_{n=0}^7 x(n)y_r(n) = 0.0$				$X_{imag}(6) = \sum_{n=0}^7 x(n)y_i(n) = -4.0$	
$X(1) = 0.0 - j4 = 4e^{-j\pi/2} = 4\angle -90^\circ$					

ตารางที่ 2: การคำนวณ DFT ของตัวอย่างที่ 1 สำหรับ  $m = 2$ 

n	$x(n)$	$y_r(n) = \cos(2\pi \cdot \frac{2}{8} \cdot n)$	$x(n)y_r(n)$	$y_i(n) = -\sin(2\pi \cdot \frac{2}{8} \cdot n)$	$x(n)y_i(n)$
0	0.3535	1.0	0.3535	0.0	0.0
1	0.3535	0.0	0.0	-1.0	-0.3535
2	0.6464	-1.0	-0.6464	0.0	0.0
3	1.0607	0.0	0.0	1.0	1.0607
4	0.3535	1.0	0.3535	0.0	0.0
5	-1.0607	0.0	0.0	-1.0	1.0607
6	-1.3535	-1.0	1.3535	0.0	0.0
7	-0.3535	0.0	0.0	0.1	-0.3535
$X_{real}(2) = \sum_{n=0}^7 x(n)y_r(n) = 1.414$				$X_{imag}(2) = \sum_{n=0}^7 x(n)y_i(n) = -1.414$	
$X(2) = 1.414 + j1.414 = 2e^{j\pi/4} = 2\angle 45^\circ$					

ตารางที่ 3: การคำนวณ DFT ของตัวอย่างที่ 1 สำหรับ  $m = 3$ 

n	$x(n)$	$y_r(n) = \cos\left(2\pi \cdot \frac{3}{8} \cdot n\right)$	$x(n)y_r(n)$	$y_i(n) = -\sin\left(2\pi \cdot \frac{3}{8} \cdot n\right)$	$x(n)y_i(n)$
0	0.3535	1.0	0.3535	0.0	0.0
1	0.3535	-0.707	-0.25	-0.707	-0.25
2	0.6464	0.0	0.0	1.0	0.6464
3	1.0607	0.707	0.75	-0.707	-0.75
4	0.3535	-1.0	-0.3535	0.0	0.0
5	-1.0607	0.707	-0.75	0.707	-0.75
6	-1.3535	0.0	0.0	-1.0	1.3535
7	-0.3535	-0.707	0.25	0.707	-0.25
$X_{real}(3) = \sum_{n=0}^7 x(n)y_r(n) = 0.0$				$X_{imag}(3) = \sum_{n=0}^7 x(n)y_i(n) = 0.0$	
$X(3) = 0.0 + j0.0 = 0.0e^{j0} = 0\angle 0^\circ$					

ตารางที่ 4: การคำนวณ DFT ของตัวอย่างที่ 1 สำหรับ  $m = 4$ 

n	$x(n)$	$y_r(n) = \cos\left(2\pi \cdot \frac{4}{8} \cdot n\right)$	$x(n)y_r(n)$	$y_i(n) = -\sin\left(2\pi \cdot \frac{4}{8} \cdot n\right)$	$x(n)y_i(n)$
0	0.3535	1.0	0.3535	0.0	0.0
1	0.3535	-1.0	-0.3535	0.0	0.0
2	0.6464	1.0	0.6464	0.0	0.0
3	1.0607	-1.0	-1.0607	0.0	0.0
4	0.3535	1.0	0.3535	0.0	0.0
5	-1.0607	-1.0	1.0607	0.0	0.0
6	-1.3535	1.0	-1.3535	0.0	0.0
7	-0.3535	-1.0	0.3535	0.0	0.0
$X_{real}(4) = \sum_{n=0}^7 x(n)y_r(n) = 0.0$				$X_{imag}(4) = \sum_{n=0}^7 x(n)y_i(n) = 0.0$	
$X(4) = 0.0 + j0.0 = 0.0e^{j0} = 0\angle 0^\circ$					

ตารางที่ 5: การคำนวณ DFT ของตัวอย่างที่ 1 สำหรับ  $m = 5$ 

n	$x(n)$	$y_r(n) = \cos\left(2\pi \cdot \frac{5}{8} \cdot n\right)$	$x(n)y_r(n)$	$y_i(n) = -\sin\left(2\pi \cdot \frac{5}{8} \cdot n\right)$	$x(n)y_i(n)$
0	0.3535	1.0	0.3535	0.0	0.0
1	0.3535	-0.707	-0.25	0.707	0.25
2	0.6464	0.0	0.0	-1.0	-0.6464
3	1.0607	0.707	0.75	0.707	0.75
4	0.3535	-1.0	-0.3535	0.0	0.0
5	-1.0607	0.707	-0.75	-0.707	0.75
6	-1.3535	0.0	0.0	1.0	-1.3535
7	-0.3535	-0.707	0.25	-0.707	0.25
$X_{real}(5) = \sum_{n=0}^7 x(n)y_r(n) = 0.0$				$X_{imag}(5) = \sum_{n=0}^7 x(n)y_i(n) = 0.0$	
$X(5) = 0.0 + j0.0 = 0.0e^{j0} = 0\angle 0^\circ$					

ตารางที่ 6: การคำนวณ DFT ของตัวอย่างที่ 1 สำหรับ  $m = 6$ 

n	$x(n)$	$y_r(n) = \cos(2\pi \cdot \frac{6}{8} \cdot n)$	$x(n)y_r(n)$	$y_i(n) = -\sin(2\pi \cdot \frac{6}{8} \cdot n)$	$x(n)y_i(n)$
0	0.3535	1.0	0.3535	0.0	0.0
1	0.3535	0.0	0.0	1.0	0.3535
2	0.6464	-1.0	-0.6464	0.0	0.0
3	1.0607	0.0	0.0	-1.0	-1.0607
4	0.3535	1.0	0.3535	0.0	0.0
5	-1.0607	0.0	0.0	1.0	-1.0607
6	-1.3535	-1.0	1.3535	0.0	0.0
7	-0.3535	0.0	0.0	-0.1	0.3535
$X_{real}(6) = \sum_{n=0}^7 x(n)y_r(n) = 1.414$				$X_{imag}(6) = \sum_{n=0}^7 x(n)y_i(n) = -1.414$	
$X(6) = 1.414 - j1.414 = 2e^{-j\pi/4} = 2\angle -45^\circ$					

ตารางที่ 7: การคำนวณ DFT ของตัวอย่างที่ 1 สำหรับ  $m = 7$ 

n	$x(n)$	$y_r(n) = \cos\left(2\pi \cdot \frac{7}{8} \cdot n\right)$	$x(n)y_r(n)$	$y_i(n) = -\sin\left(2\pi \cdot \frac{7}{8} \cdot n\right)$	$x(n)y_i(n)$
0	0.3535	1.0	0.3535	0.0	0.0
1	0.3535	0.707	0.25	0.707	0.25
2	0.6464	0.0	0.0	1.0	0.6464
3	1.0607	-0.707	-0.75	0.707	0.75
4	0.3535	-1.0	-0.3535	0.0	0.0
5	-1.0607	-0.707	0.75	-0.707	0.75
6	-1.3535	0.0	0.0	-1.0	1.3535
7	-0.3535	0.707	-0.25	-0.707	0.25
$X_{real}(6) = \sum_{n=0}^7 x(n)y_r(n) = 0.0$				$X_{imag}(6) = \sum_{n=0}^7 x(n)y_i(n) = 4.0$	
$X(7) = 0.0 + j4 = 4e^{j\pi/2} = 4\angle 90^\circ$					

$\cos(2\pi f_m t)$  ณ. จุดซีกตัวอย่างลำดับที่  $n$  ซึ่งเกิดขึ้น ณ. เวลา  $t = nt_s$  เมื่อ  $t_s = \frac{1}{f_s}$  โดยความถี่วิเคราะห  $f_m$  มีค่าเท่ากับ  $\frac{mf_s}{N}$

- คำนวณส่วนจินตภาพของ  $X(m)$  หรือ  $X_{imag}(m)$  โดยการคูณ  $x(n)$  และ  $y_i(n) = -\sin(2\pi \cdot \frac{mf_s}{N} \cdot nt_s)$  สำหรับทุกค่าของ  $n$  แบบจุดต่อจุด แล้วรวมผลคูณทั้งหมด เช่นเดียวกันข้อสังเกตที่สำคัญคือ  $y_i(n)$  เป็นสัญญาณ  $-\sin(2\pi f_m t)$  ณ. จุดซีกตัวอย่างลำดับที่  $n$  ซึ่งเกิดขึ้น ณ. เวลา  $t = nt_s$  เมื่อ  $t_s = \frac{1}{f_s}$  โดยความถี่วิเคราะห  $f_m$  มีค่าเท่ากับ  $\frac{mf_s}{N}$

- คำตอบคือ  $X(m) = X_{real}(m) + jX_{imag}(m)$

การคำนวณดังกล่าวเป็นการหาความสัมพันธ์ของ  $x(n)$  กับ  $y(n)$  เมื่อ

$$\begin{aligned}
 y(n) &= e^{-j2\pi \cdot \frac{mf_s}{N} \cdot nt_s} = e^{-j2\pi \cdot \frac{mn}{N}} \\
 &= \cos(2\pi \cdot \frac{mf_s}{N} \cdot nt_s) - j \sin(2\pi \cdot \frac{mf_s}{N} \cdot nt_s) \\
 &= y_r(n) + jy_i(n) \\
 y_r(n) &= \cos(2\pi \cdot \frac{mf_s}{N} \cdot nt_s) = \cos(2\pi \cdot \frac{mn}{N}) \\
 y_i(n) &= -\sin(2\pi \cdot \frac{mf_s}{N} \cdot nt_s) = -\sin(2\pi \cdot \frac{mn}{N})
 \end{aligned}$$

ซึ่งเป็นสัญญาณไซน์ที่ความถี่วิเคราะห  $f_m = \frac{mf_s}{N}$  และเนื่องจาก  $y(n)$  เป็นสัญญาณไซน์ที่ความถี่  $f_m$  ผลที่ได้จากการหาความสัมพันธ์ดังกล่าวคือ ก็คือองค์ประกอบสัญญาณไซน์ความถี่  $f_m$  ของ  $x(n)$  นั่นเอง

เราจะพิจารณากรณีที่  $m = 0$  ซึ่งเรายังไม่ได้คำนวณ เมื่อ  $m = 0$  ค่าของ  $y(n) = e^{j2\pi \cdot n \cdot 0} = 1 + j0$

สำหรับทุกค่าของ  $n$  ดังนั้นเราจะได้

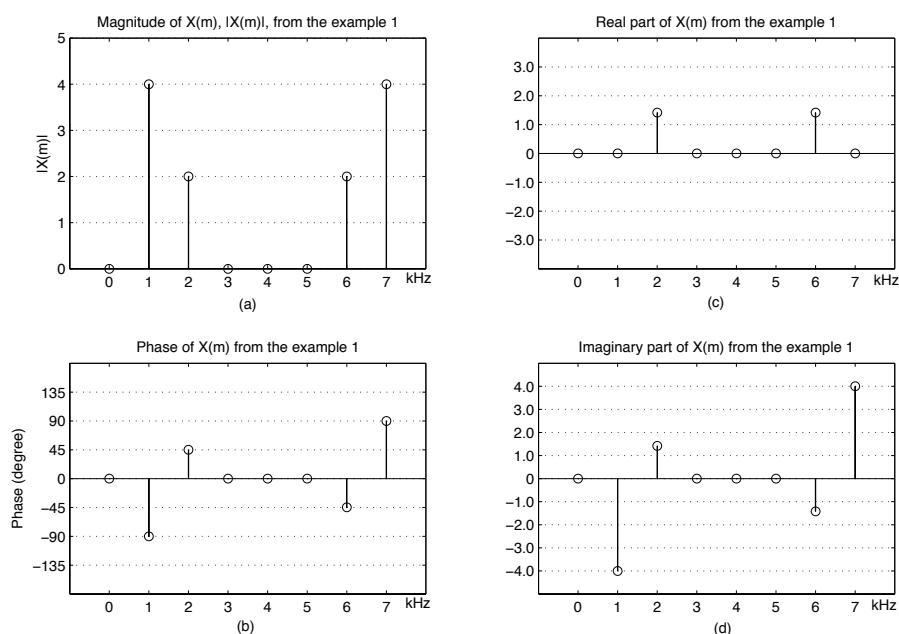
$$\begin{aligned} X(0) &= \sum_{n=0}^7 x(n) \cdot 1 = \sum_{n=0}^7 x(n) = 7 \cdot \frac{1}{7} \sum_{n=0}^7 x(n) = 7x_{avg} \\ &= 0.3535 + 0.3535 + 0.6464 + 1.0607 + 0.3535 \\ &\quad + (-1.0607) + (-1.3535) + (-0.3535) \\ &= 0.0 \end{aligned}$$

จะเห็นว่า  $X(0)$  มีค่าเป็น 7 เท่า (หรือ  $N$  เท่า สำหรับกรณีทั่วไป) ของค่าเฉลี่ยของ  $x(n)$  เมื่อค่าเฉลี่ยของ  $x(n)$  คือ  $x_{avg}$  มีค่า

$$x_{avg} = \frac{1}{N} \sum_{n=0}^N x(n)$$

นั่นคือ  $X(0)$  คือองค์ประกอบ DC ของสัญญาณ  $x(n)$  นั่นเอง ในกรณีตัวอย่างที่ 1 นี้ไม่มีองค์ประกอบ DC จึงได้  $X(0) = 0.0$

เมื่อเรานำผลของการคำนวณ DFT ในตัวอย่างที่ 1 มาพล็อต เราจะได้กราฟที่บอกถึงองค์ประกอบสัญญาณไซน์ที่ความถี่  $f_m$  ดังแสดงในรูปที่ 3



รูปที่ 3: ผลการคำนวณ DFT ของตัวอย่างที่ 1 (a) ขนาด (magnitude) ของ  $X(m)$ ; (b) เฟส (phase) ในหน่วยองศาของ  $X(m)$ ; (c) ส่วนจริง (real part) ของ  $X(m)$  และ (d) ส่วนจินตภาพ (imaginary part) ของ  $X(m)$

### 2.3 ความสมมาตรของ DFT (DFT Symmetry)

สังเกตผลของการคำนวณ DFT ในรูปที่ 3 อีกครั้งหนึ่ง จะเห็นว่าค่า DFT ของ  $x(n)$  ในตัวอย่างนี้มีความสมมาตรในลักษณะที่

$$X(N - m) = X^*(m), m = 1, 2, \dots, N/2 - 1 \quad (9)$$

เมื่อ  $X^*(m)$  เป็น complex conjugate ของ  $X(m)$  กล่าวคือถ้า

$$X(m) = X_{real}(m) + jX_{imag}(m) = X_{mag}(m)e^{X_\phi(m)}$$

แล้ว

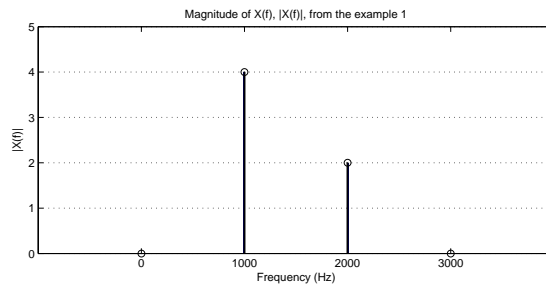
$$X(N - m) = X^*(m) = X_{real}(m) - jX_{imag}(m) \quad \text{หรือ} \quad (10)$$

$$X(N - m) = X^*(m) = X_{mag}(m)e^{-jX_\phi(m)} \quad (11)$$

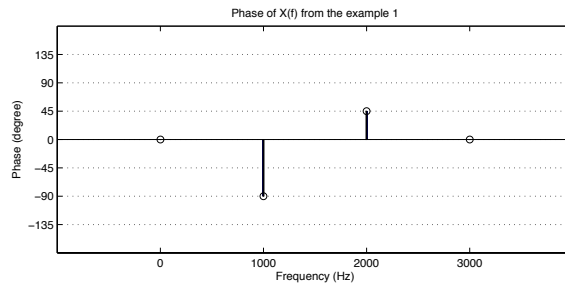
โดย  $X_{mag}(m)$  และ  $X_\phi(m)$  เป็นไปตามสมการที่ (5) และสมการที่ (6) กล่าวคือเมื่ออยู่ในรูปแบบสี่เหลี่ยม (rectangular form) เราจะได้

$$X_{real}(N - m) = X_{real}(m) \quad \text{และ} \quad (12)$$

$$X_{imag}(N - m) = -X_{imag}(m) \quad (13)$$



(a)  $x(n) (|X(f_m)|)$



(b)  $x(n) (X_\phi(f_m))$

รูปที่ 4: องค์ประกอบสัญญาณไซน์ที่ความถี่วิเคราะห์ของ  $x(n)$  ( $X(f_m)$ ) ในตัวอย่างที่ 1

หรือ

$$X_{mag}(N-m) = X_{mag}(m) = |X(m)| \text{ และ} \quad (14)$$

$$X_\phi(N-m) = -X_\phi(m) \quad (15)$$

เมื่ออยู่ในรูปแบบโพลาร์ (polar form)

ความสมมูลดังกล่าวจะเกิดขึ้นเสมอถ้า  $x(n)$  เป็นลำดับของเลขจำนวนจริง (real-value sequence) ซึ่งในทางปฏิบัติแล้ว สัญญาณทางกายภาพทั้งหมดจะเป็นฟังก์ชันจำนวนจริง จึงทำให้  $x(n)$  ในทางปฏิบัติเป็นลำดับของเลขจำนวนจริง และ DFT ของมันจะมีความสมมูลตามสมการที่ (9)

ดังนั้นในกรณีที่  $x(n)$  เป็นลำดับของเลขจำนวนจริง เราจะใช้เฉพาะ  $X(m) = X(f_m)$  ในครั้งแรกคือเมื่อ  $m = 0$  ถึง  $m = \frac{N}{2} - 1$  ดังแสดงในรูปที่ 4

เราสามารถพิสูจน์สมการที่ (9) โดยเขียน  $X(N-m)$  ในรูปเอ็กโปเนนเชียลของ DFT ตามสมการที่ (1) ดังนี้

$$\begin{aligned} X(N-m) &= \sum_{n=0}^{N-1} x(n) e^{-j2\pi \cdot \frac{n(N-m)}{N}} = \sum_{n=0}^{N-1} x(n) e^{-j2\pi \cdot \frac{n(-m)}{N}} e^{-j2\pi \cdot \frac{nN}{N}} \\ &= \sum_{n=0}^{N-1} x(n) e^{j2\pi \cdot \frac{nm}{N}} \quad \text{เพราะ} \\ e^{-j2\pi \cdot \frac{nN}{N}} &= e^{-j2\pi n} = 1 \end{aligned}$$

เนื่องจาก  $z^* = |z|e^{j\theta}$  เมื่อ  $z = |z|e^{-j\theta}$  และ  $\alpha(z_1 + z_2)^* = \alpha(z_1^* + z_2^*)$  เมื่อ  $\alpha$  เป็นจำนวนจริง เราจึงสรุปได้ว่า

$$X(N-m) = \sum_{n=0}^{N-1} x(n) e^{j2\pi \cdot \frac{nm}{N}} = X^*(m) \quad (16)$$

## 2.4 ความเป็นเชิงเส้นของ DFT (DFT Linearity)

เราอาจมอง DFT เป็นระบบอันหนึ่งที่เปลี่ยนอินพุต  $x(n)$  ไปเป็นเอาต์พุต  $X(m)$  และคุณสมบัติสำคัญอันหนึ่งของระบบใด ๆ คือคุณสมบัติความเป็นเชิงเส้น (linearity) ซึ่งกล่าวไว้ดังนี้

ให้ A เป็นระบบอันหนึ่ง โดย  $y_1$  เป็นเอาต์พุตของ A เมื่อป้อน  $x_1$  เป็นอินพุต และ  $y_2$  เป็นเอาต์พุตของ A เมื่อป้อน  $x_2$  เป็นอินพุต แล้ว A จะมีคุณสมบัติเชิงเส้น หรือเราเรียกอีกอย่างหนึ่งว่า A จะเป็นระบบเชิงเชิง (linear system) ถ้า  $\alpha y_1 + \beta y_2$  เป็นเอาต์พุตของ A เมื่อป้อน  $\alpha x_1 + \beta x_2$  เป็นอินพุต

DFT มีคุณสมบัติความเป็นเชิงเส้น ซึ่งพิสูจน์ได้ดังนี้

ให้  $x_1(n)$  และ  $x_2(n)$  ( $n = 0, 1, 2, \dots, N-1$ ) เป็นลำดับของเลขจำนวนเชิงซ้อน N จุด แล้วเราจะได้

$$\begin{aligned} X_1(m) &= \sum_{n=0}^{N-1} x_1(n) e^{-j2\pi nm/N} \text{ และ} \\ X_2(m) &= \sum_{n=0}^{N-1} x_2(n) e^{-j2\pi nm/N} \end{aligned}$$

เป็น DFT ของ  $x_1(n)$  และ  $x_2(n)$  ตามลำดับ กล่าวคือ  $X_1(m)$  และ  $X_2(m)$  เป็นเอาต์พุตจากระบบ DFT เมื่อป้อนอินพุตเป็น  $x_1(n)$  และ  $x_2(n)$  ตามลำดับ ถ้าให้

$$y(n) = \alpha x_1(n) + \beta x_2(n)$$

เป็นลำดับของจำนวนเชิงซ้อนจำนวน  $N$  จุด ที่เกิดจากการผลรวมของ  $\alpha x_1(n)$  และ  $\beta x_2(n)$  โดย  $\alpha$  และ  $\beta$  เป็นค่าคงที่เชิงซ้อน (complex constants) แล้ว เราจะได้

$$\begin{aligned} Y(m) &= \sum_{n=0}^{N-1} y(n) e^{-j2\pi nm/N} = \sum_{n=0}^{N-1} (\alpha x_1(n) + \beta x_2(n)) e^{-j2\pi nm/N} \\ &= \sum_{n=0}^{N-1} \alpha x_1(n) e^{-j2\pi nm/N} + \sum_{n=0}^{N-1} \beta x_2(n) e^{-j2\pi nm/N} \\ &= \alpha \sum_{n=0}^{N-1} x_1(n) e^{-j2\pi nm/N} + \beta \sum_{n=0}^{N-1} x_2(n) e^{-j2\pi nm/N} \\ &= \alpha X_1(m) + \beta X_2(m) \end{aligned}$$

กล่าวคือถ้าเราป้อน  $\alpha x_1(n) + \beta x_2(n)$  เป็นอินพุตให้ DFT แล้วเราจะได้  $\alpha X_1(m) + \beta X_2(m)$  เป็นเอาต์พุต ซึ่ง แสดงว่า DFT มีคุณสมบัติความเป็นเชิงเส้น ซึ่งเป็นจริงทั้งกรณีทีอินพุต  $x(n)$  ของมันจะเป็นลำดับของเลขเชิงซ้อนหรือเป็นลำดับของเลขจำนวนจริง เนื่องจากจำนวนจริงเป็นเซตย่อยของจำนวนเชิงซ้อน สมการข้างบนจึงเป็นจริงสำหรับกรณีที่  $x_1(n)$ ,  $x_2(n)$ ,  $\alpha$ , และ  $\beta$  เป็นจำนวนจริง

ถ้าปราศจากความเป็นเชิงเส้น DFT จะไม่มีประโยชน์อะไรเลยในการวิเคราะห์สัญญาณ เพราะเราจะสามารถหา DFT ได้เฉพาะสัญญาณที่มีเพียงความถี่เดียว แต่ในความเป็นจริงสัญญาณในทางปฏิบัติ นั้น เป็นผลรวมของสัญญาณไซน์หลายความถี่ ด้วยคุณสมบัติความเป็นเชิงเส้นเราจึงใช้ DFT ในการวิเคราะห์หาค่าประกอบสัญญาณไซน์ที่ความถี่ต่าง ๆ ได้

## 2.5 ทฤษฎีการเลื่อนของ DFT (DFT Shift Theorem)

ถ้า  $y(n) = x(n + l)$  เป็นลำดับของตัวเลขที่ได้จากการเลื่อน (shift)  $x(n)$  ไปทางซ้ายจำนวน  $l$  จุด ทำให้  $y(n)$  เร็วกว่า  $x(n)$  อยู่  $l$  จุด กล่าวคือจุดแรกของ  $y$  คือ  $x(l)$  หรือ  $y(0) = x(l)$  แล้วเราจะได้

$$Y(m) = e^{j2\pi \cdot l \cdot \frac{m}{N}} X(m) \quad (17)$$

## 2.6 ขนาดของ DFT (DFT Magnitudes)

ถ้า  $x(n)$  เป็นลำดับของเลขจำนวนจริงที่ได้จากการชักตัวอย่าง  $x(t)$  ซึ่งมีองค์ประกอบสัญญาณไซน์ความถี่  $f_k = f_r = \frac{r f_s}{N}$  ให้

$$\begin{aligned} x_k(t) &= A_k \cos(2\pi f_k t + \phi_k) = A_r \cos(2\pi f_r t + \phi_r) \\ x_k(n) &= A_r \cos\left(2\pi \frac{r n t_s f_s}{N} + \phi_r\right) = A_r \cos\left(2\pi \cdot n \cdot \frac{r}{N} + \phi_r\right) \end{aligned}$$



โดย  $x_k(n)$ ,  $0 \leq n < N$  เป็นลำดับที่ได้จากการชักตัวอย่าง  $x_k(t)$  ด้วยความถี่  $f_s$  โดยเลือก  $N$  ที่ทำให้การชักตัวอย่างครอบคลุม  $x_k(t)$  เป็นจำนวน  $q$  คาบโดย  $q$  เป็นจำนวนเต็มบวก แล้วเราจะได้ความสัมพันธ์ระหว่างขนาดของ DFT ที่จุด  $r$  หรือ  $|X(r)|$  และแอมพลิจูดของ  $x_k(t)$  ดังนี้

$$X_{mag}(r) = |X(r)| = \frac{N}{2} A_r \quad (18)$$

ถ้า  $x(n)$  เป็นลำดับของเลขเชิงซ้อน โดยเงื่อนไขอย่างอื่นยังเหมือนเดิม เราจะได้

$$X_{mag}(r) = |X(r)| = N A_r \quad (19)$$

### 2.6.1 พิสูจน์

แสดงให้เห็นว่าสมการที่ (18) เป็นจริงดังนี้ ให้

$$x(n) = A_1 x_1(n) + A_2 x_2(n) + \cdots + A_k x_k(n) + \cdots + A_K x_K(n) = \sum_{k=1}^K A_k x_k$$

โดย  $x_k$  เป็นสัญญาณไซน์ความถี่  $f_k$  ดังนั้น  $x(n)$  มีองค์ประกอบสัญญาณไซน์ความถี่  $f_k$  ที่มีขนาดเท่ากับ  $A_k$  และมีเฟสเท่ากับ  $\phi_k$  กล่าวคือ

$$\begin{aligned} x_k(n) &= A_k \cos(2\pi f_k n t_s + \phi_k) = A_k \cos\left(2\pi \cdot n \cdot \frac{f_k}{f_s} + \phi_k\right) \\ x(n) &= \sum_{k=1}^K A_k \cos\left(2\pi \cdot n \cdot \frac{f_k}{f_s} + \phi_k\right) \end{aligned}$$

ถ้าการชักตัวอย่างด้วยความถี่  $f_s$  ทำให้  $f_k$  มีค่าเท่ากับความถี่วิเคราะห์  $f_p = \frac{p f_s}{N}$  สำหรับทุกค่าของ  $k$  กล่าวคือ

$$\begin{aligned} f_k &= f_p = \frac{p f_s}{N}, \text{ เมื่อ } 0 \leq p < N \\ x(n) &= \sum_{k=1}^K A_k \cos\left(2\pi \cdot n \cdot \frac{p f_s}{N f_s} + \phi_k\right) \\ &= \sum_{k=1}^K A_k \cos\left(2\pi \cdot n \cdot \frac{p}{N} + \phi_k\right) \end{aligned}$$

หรือ

$$x_k(n) = \cos\left(2\pi \cdot n \cdot \frac{p}{N} + \phi_k\right) = \operatorname{Re}\{e^{j\phi_k} e^{j2\pi \frac{p}{N} n}\}$$

ถ้าเราให้

$$\begin{aligned} z_k(n) &= e^{j\phi_k} e^{j2\pi \frac{p}{N}} \\ &= \cos\left(2\pi \cdot n \cdot \frac{p}{N} + \phi_k\right) + j \sin\left(2\pi \cdot n \cdot \frac{p}{N} + \phi_k\right) \\ &= x_k(n) + jy_k(n) \end{aligned}$$

โดย

$$\begin{aligned} y_k(n) &= \text{Im}\{z_k(n)\} = \sin\left(2\pi \cdot n \cdot \frac{p}{N} + \phi_k\right) \\ &= -\cos\left(2\pi \cdot n \cdot \frac{p}{N} + \phi_k + \frac{\pi}{2}\right) \\ &= -x(n+l) \end{aligned}$$

โดยที่จุดซีกตัวอย่าง  $l$  คือจุดที่ทำให้

$$2\pi \cdot l \cdot \frac{m_r}{N} = \frac{\pi}{2}$$

ซึ่งจะได้

$$\begin{aligned} l &= \frac{N}{4r} \\ y_k(n) &= -x_k\left(n + \frac{N}{4r}\right) \end{aligned}$$

เมื่อ  $f_r = \frac{rf_s}{N}$  เป็นความถี่หนึ่งในองค์ประกอบสัญญาณไซน์ของ  $x(n)$  หรือ

$$f_r = \frac{rf_s}{N}, \quad \text{เมื่อ } 0 < r < N$$

แล้ว

$$\begin{aligned} z(n) &= \sum_{k=1}^K A_k e^{j\phi_k} e^{j2\pi \frac{p}{N}} = x(n) + jy(n), \quad \text{โดย} \\ x(n) &= \sum_{k=1}^K A_k x_k(n) = \sum_{k=1}^K A_k \cos\left(2\pi \cdot n \cdot \frac{p}{N} + \phi_k\right) \\ y(n) &= \sum_{k=1}^K A_k y_k(n) = \sum_{k=1}^K A_k \sin\left(2\pi \cdot n \cdot \frac{p}{N} + \phi_k\right) \\ &= -x(n+l) = -x\left(n + \frac{N}{4r}\right) \\ z(n) &= x(n) - jx\left(n + \frac{N}{4r}\right) \end{aligned}$$

พิจารณาหา DFT ของ  $x(n)$  ที่  $m = r$  (หา  $X(r)$ ) โดยคำนวณจาก  $Z(r)$  ดังนี้

$$\begin{aligned} Z(r) &= \sum_{n=0}^{N-1} z(n) e^{-j2\pi nr/N} = \sum_{n=0}^{N-1} (x(n) - jx(n + \frac{N}{4r})) e^{-j2\pi nr/N} \\ &= X(r) - j e^{j2\pi \frac{N}{4r} \frac{r}{N}} X(r) \\ &= (1 + e^{-j\frac{\pi}{2}} e^{j\frac{\pi}{2}}) X(r) = (1 + 1) X(r) \\ &= 2X(r) \end{aligned}$$

หรือ

$$\begin{aligned} X(r) &= \frac{1}{2} Z(r) \\ &= \frac{1}{2} \sum_{n=0}^{N-1} \left\{ \sum_{k=1}^K A_k e^{j\phi_k} e^{j2\pi np/N} \right\} e^{-j2\pi nr/N} \\ &= \frac{1}{2} \sum_{n=0}^{N-1} \sum_{k=1}^K A_k e^{j\phi_k} e^{j2\pi np/N} e^{-j2\pi nr/N} \\ &= \frac{1}{2} \sum_{k=1}^K A_k e^{j\phi_k} \sum_{n=0}^{N-1} e^{j2\pi n(p-r)/N} \\ &= \frac{1}{2} A_r e^{j\phi_r} \left\{ \sum_{n=0}^{N-1} 1 \right\} \\ &= \frac{N}{2} A_r e^{j\phi_r} \end{aligned}$$

ทั้งนี้เพราะ

$$\sum_{n=0}^{N-1} e^{j2\pi n(p-r)/N} = \begin{cases} \sum_{n=0}^{N-1} e^{j2\pi n(m)/N} = 0, & \text{เมื่อ } p \neq r \\ \sum_{n=0}^{N-1} e^{j2\pi n(0)/N} = N A_r e^{j\phi_r}, & \text{เมื่อ } p = r \end{cases}$$

จะเห็นว่า

$$\begin{aligned} X_{mag}(r) &= |X(r)| = \frac{N}{2} A_r \\ X_{\phi}(r) &= \phi_r \end{aligned}$$

นั่นคือ  $X(r)$  คือองค์ประกอบสัญญาณไซน์ความถี่  $f_r = \frac{r f_s}{N}$  ของ  $x(n)$  ซึ่งเป็นไปตามสมการที่ (18)

### 2.6.2 การสเกลขนาดของ DFT (DFT Scale Factors)

ขนาด DFT บอกถึงขนาดขององค์ประกอบสัญญาณไซน์ความถี่วิเคราะห์  $\frac{m f_s}{N}$  แต่ไม่เท่ากับแอมพลิจูดของสัญญาณไซน์ดังกล่าว ดังนั้นจึงอาจมีการปรับขนาดหรือสเกลขนาดของสัญญาณ DFT หลายวิธีเพื่อจุดประสงค์ที่ต่างกันไป

สำหรับการสเกลแบบที่ 1 คือตามสมการที่ (1) หรือกล่าวอีกนัยหนึ่งว่าเป็น DFT ที่มีแฟคเตอร์ของการสเกลเท่ากับ 1 (หรือไม่มีการสเกล) ในกรณีนี้สเกลแฟคเตอร์ของการอินเวอร์ส DFT จะเป็น  $\frac{1}{N}$  ตามสมการ 26

การสเกลแบบที่ 2 ตามสมการที่ (20) มีสเกลแฟคเตอร์เท่ากับ  $\frac{1}{N}$  เพื่อให้ขนาดของ DFT ที่ได้เท่ากับครึ่งหนึ่งของแอมพลิจูดของสัญญาณไซน์ที่ความถี่วิเคราะห์ ในกรณีนี้สเกลแฟคเตอร์ของการอินเวอร์สจะเป็น 1

$$X(m) = \frac{1}{N} \sum_{n=0}^{N-1} x(n) e^{-j2\pi nm/N} \quad (20)$$

$$x(n) = \sum_{m=0}^{N-1} X(m) e^{j2\pi nm/N} \quad (21)$$

จะเห็นว่า DFT ที่ได้นั้นบ่งบอกถึงแอมพลิจูด แต่เราต้องแลกด้วยการที่ต้องทำการคำนวณการหารด้วย  $N$  เพิ่มเติม

การสเกลแบบที่ 3 เป็นการแบ่งสเกลแฟคเตอร์ไปทั้งทางด้าน DFT และอินเวอร์ส DFT เท่า ๆ กันคือ  $\frac{1}{\sqrt{N}}$  ดังสมการที่ (22) และสมการที่ (23) สำหรับ DFT และอินเวอร์ส DFT ตามลำดับ

$$X(m) = \frac{1}{\sqrt{N}} \sum_{n=0}^{N-1} x(n) e^{-j2\pi nm/N} \quad (22)$$

$$x(n) = \frac{1}{\sqrt{N}} \sum_{m=0}^{N-1} X(m) e^{j2\pi nm/N} \quad (23)$$

## 2.7 แกนความถี่ของ DFT (DFT Frequency Axis)

ผลการคำนวณ DFT ที่ตำแหน่ง  $m$  คือ  $X(m)$ ,  $m = 0, 1, \dots, N-1$  ซึ่งสามารถตีความหมายเป็นองค์ประกอบสัญญาณไซน์ที่ความถี่วิเคราะห์  $f_m = \frac{mf_s}{N}$  ของ  $x(n)$  (สมการที่ (3)) ดังนั้นในการตีความหมายนี้ เราสนใจ  $X(f_m)$  ซึ่งก็ไม่มีอะไรยากเพราะ  $X(f_m) = X(m)$  นั่นเอง ดังนั้นเมื่อเราต้องการตีความหมายของ DFT เพื่อประมาณสเปกตรัมความถี่ (frequency spectrum) หรือสเปกตรัมกำลัง (power spectrum) ของ  $x(t)$  แล้วเราจะตีความหมายแกน  $x$  ของการพล็อต  $X(m)$  เป็นความถี่ โดยจุด  $X(m)$  จะถูกพล็อตที่ตำแหน่งความถี่วิเคราะห์  $f_m$  ซึ่งจะขึ้นอยู่กับตัวแปร 3 ตัวคือ

- ความถี่การซีกตัวอย่าง (sampling frequency)  $f_s$
- จำนวนจุดที่นำมาคำนวณ  $N$  ซึ่งจะสัมพันธ์กับ  $f_s$  ถ้าเราคงที่ระยะเวลาของสัญญาณไว้ แต่ถ้าเราคงที่  $f_s$  แต่เปลี่ยนระยะเวลาแล้ว  $N$  จะมีผลกับความถี่วิเคราะห์
- ตัวชี้ (index)  $m$  ซึ่งเป็นตัวบอกตำแหน่งความถี่บนแกนความถี่ จะเห็นว่าความถี่วิเคราะห์ที่จุด  $m$  ใด ๆ เป็นฮาร์โมนิกที่  $m$  ของความถี่  $\frac{f_s}{N}$  ซึ่งเป็นความถี่วิเคราะห์เมื่อ  $m = 1$  หรือเป็นความถี่ฐาน (fundamental frequency) ของความถี่วิเคราะห์ นอกจากนี้แล้วความถี่  $\frac{f_s}{N}$  ยังเป็นระยะห่างระหว่างความถี่ของ DFT (DFT's frequency spacing) หรือความละเอียดทางความถี่ของ DFT (DFT's frequency resolution)

ถึงจุดนี้เราจะสรุปประเด็นสำคัญของสิ่งที่เราได้เรียนรู้เกี่ยวกับ DFT ก่อนดังนี้

- แต่ละจุด ( $X(m)$ ) ของการคำนวณ DFT ขนาด  $N$  จุด (N-point DFT) คือผลรวมของการคูณแบบจุดต่อจุดระหว่าง  $x(n)$  กับ  $y(n) = e^{-j2\pi nm/N}$  สำหรับทุกค่า  $n = 0, 1, 2, \dots, N-1$

- $y(n) = e^{-j2\pi nm/N} = \cos(2\pi nm/N) - j \sin(2\pi nm/N)$  เป็นจุดซัดตัวอย่างตำแหน่งที่  $n$  ของฟังก์ชันเชิงซ้อน  $e^{-j2\pi f_m t}$  ที่ใช้แทนสัญญาณไซน์ความถี่  $f_m = \frac{mf_s}{N}$
- การที่  $y(n)$  เป็นลำดับที่ได้จากการซัดตัวอย่างฟังก์ชัน  $e^{-j2\pi f_m t}$  ทำให้  $X(m)$  เป็นองค์ประกอบสัญญาณไซน์ที่มีความถี่  $f_m$  ของ  $x(t)$
- เมื่อลำดับ  $x(n)$  เป็นเลขจำนวนจริงทั้งหมด ผลจาก DFT ขนาด  $N$  จุดจะเป็นอิสระ (independent) เพียง  $N/2$  จุด กล่าวคือ  $X(N-m) = X^*(m)$  เมื่อ  $X^*(m)$  เป็น complex conjugate ของ  $X(m)$  หรือ  $X(N-m)$  และ  $X(m)$  ขึ้นต่อกัน (dependent) สำหรับทุกค่าของ  $m = 0, 1, 2, \dots, N/2 - 1$
- DFT มีคุณสมบัติความเป็นเชิงเส้น
- DFT มีคุณสมบัติการเลื่อน (shifting) เช่นเดียวกับการแปลงฟูเรียร์แบบต่อเนื่อง (continuous Fourier transform) (ดูตามสมการที่ (17))
- ขนาดของ DFT แปรตรงกับ  $N$  และแอมพลิจูดขององค์ประกอบสัญญาณไซน์ที่มีความถี่  $f_m$  (ดูตามสมการที่ (18) และสมการที่ (19))
- ความละเอียดทางความถี่ของ DFT (DFT's frequency resolution) หรือระยะห่างของความถี่ของ DFT (DFT's frequency spacing) คือ  $f_s/N$

## 2.8 อินเวอร์ส DFT (Inverse DFT)

ผลของการคำนวณ DFT คือองค์ประกอบสัญญาณไซน์ความถี่  $f_m$  ของ  $x(n)$  ฟังก์ชันที่เป็นตัวแทนของสัญญาณไซน์ความถี่  $f_m$  คือ

$$u_m(t) = e^{j2\pi f_m t} = \cos(2\pi f_m t) + j \sin(2\pi f_m t) \quad (24)$$

เมื่อเรานำซัดตัวอย่าง  $u_m(t)$  ด้วยความถี่  $f_s$  ทั้งหมด  $N$  จุดเราจะได้

$$u_m(n) = e^{j2\pi f_m(n/f_s)} = e^{j2\pi nm/N} = \cos(2\pi nm/N) + j \sin(2\pi nm/N) \quad (25)$$

องค์ประกอบสัญญาณไซน์ที่มีความถี่  $f_m$  ของ  $x(n)$  คือ  $X(m)u_m(t)$  ซึ่งเมื่อซัดตัวอย่างด้วยความถี่  $f_s$  แล้วจะได้  $X(m)e^{j2\pi nm/N}$  เมื่อเรานำองค์ประกอบไซน์ที่มีความถี่  $f_m$  ที่ทุกค่า  $m$  เมื่อรวมกันเราจะได้  $x(n)$  ดังนี้

$$x(n) = \frac{1}{N} \sum_{m=0}^{N-1} X(m) e^{j2\pi nm/N} \quad (26)$$

หรือเขียนในรูปแบบสี่เหลี่ยมเป็น

$$x(n) = \frac{1}{N} \sum_{m=0}^{N-1} X(m) (\cos(2\pi nm/N) + j \sin(2\pi nm/N)) \quad (27)$$

สมการที่ (26) และสมการที่ (27) เป็นนิยามของอินเวอร์ส DFT ของ  $X(m)$  ในรูปแบบโพลาาร์และสี่เหลี่ยมตามลำดับ โดย  $X(m)$  เป็น DFT ที่ได้จากสมการที่ (1) หรือสมการที่ (2) หรือ DFT แบบไม่มีการสเกล ดังนั้นเราจำเป็นต้องคูณแฟกเตอร์การสเกล  $\frac{1}{N}$  ในสมการที่ (26) และสมการที่ (27) เพื่อให้ได้  $x(n)$  ตามขนาดเดิม

## 2.9 การรั่วของ DFT (DFT Leakage)

ในการทำความเข้าใจ DFT ที่ผ่านมาระบบสมมติให้สัญญาณ  $x(t)$  นั้นประกอบขึ้นจากผลบวกของสัญญาณไซน์ความถี่  $f_k$  โดยที่  $f_k$  เท่ากับความถี่วิเคราะหค่าหนึ่ง หรือ  $f_k = \frac{rf_s}{N}$  ซึ่งจะเป็นจริงก็ต่อเมื่อเรานำเอาจุด  $x(n)$  จากการซิกตัวอย่าง  $x(t)$  เป็นระยะเวลา  $q$  คาบโดย  $q$  เป็นจำนวนเต็มบวก ในกรณีนี้พลังงานทั้งหมดของ  $x(t)$  ที่ความถี่  $f_k$  จะไปลงที่ความถี่วิเคราะห  $f_q = \frac{qf_s}{N}$  ทั้งหมด แต่ถ้าจำนวนจุด  $N$  และความถี่การซิกตัวอย่าง  $f_s$  ไม่ทำให้เกิดกรณีที่  $f_k = \frac{qf_s}{N}$  แล้วพลังงานของ  $x(t)$  ที่ความถี่  $f_k$  จะกระจายไปทั่วทุกความถี่ เรียกปรากฏการณ์นี้ว่าการรั่วของ DFT (DFT Leakage)

เราจะใช้ตัวอย่างในการทำความเข้าใจปรากฏการณ์นี้ สมมติให้  $x(t)$  มีองค์ประกอบไซน์ความถี่  $f_k$  อยู่ ดังนั้นเราจะพิจารณาเฉพาะองค์ประกอบนี้ของ  $x(t)$  กล่าวคือเราพิจารณาเฉพาะ  $x(t)$  ที่เป็นสัญญาณไซน์ความถี่เดียว โดยกรณีของ  $x(t)$  ใด ๆ ก็เกิดจากการรวมกันของสัญญาณไซน์ที่ความถี่  $f_k$  ต่าง ๆ เท่านั้น

พิจารณา  $x(t)$  ที่ความถี่  $f_k$  นั่นคือ

$$x(t) = \sin(2\pi f_k t) \quad (28)$$

เมื่อซิกตัวอย่างด้วยความถี่  $f_s$  จะได้

$$x(n) = \sin(2\pi f_k(n/f_s)) = \sin(2\pi n \frac{f_k}{f_s}) \quad (29)$$

อันดับแรกเราพิจารณากรณีที่ไม่มีกรรั่วโดยเลือก  $N$  และ  $f_s$  ให้  $x(n)$ ,  $n = 0, 1, 2, \dots, N-1$  มีความยาวเป็น  $q$  คาบซึ่งจะทำให้  $f_k = \frac{rf_s}{N}$  ยกตัวอย่างถ้าให้  $q = 3$  เราจะได้เวลาของการซิกตัวอย่างทั้งหมดเท่ากับ  $\frac{3}{f_k}$  ซึ่งมีจำนวนจุดของการซิกตัวอย่างเท่ากับ  $N$  จุดระยะห่างระหว่างจุดคือ  $t_s = \frac{1}{f_s}$  ดังนั้นเราจะได้

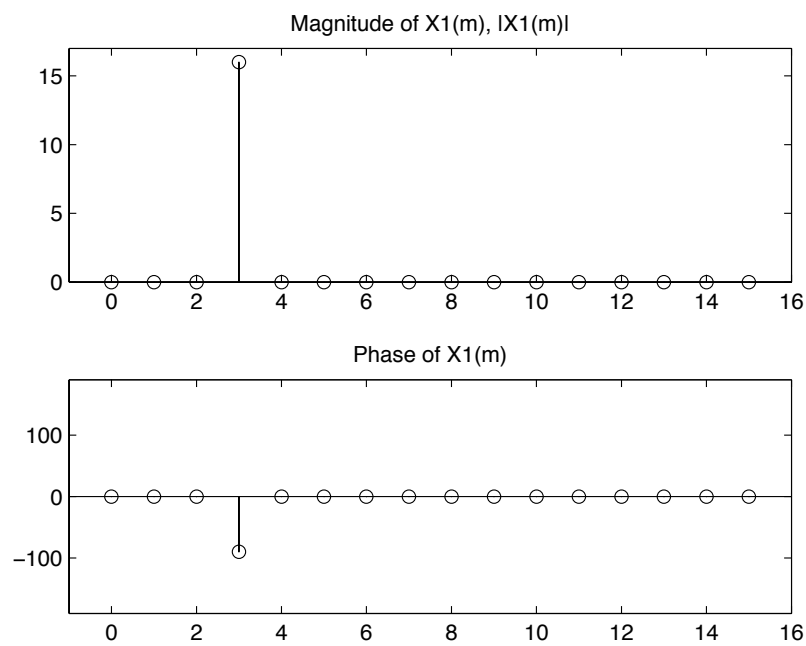
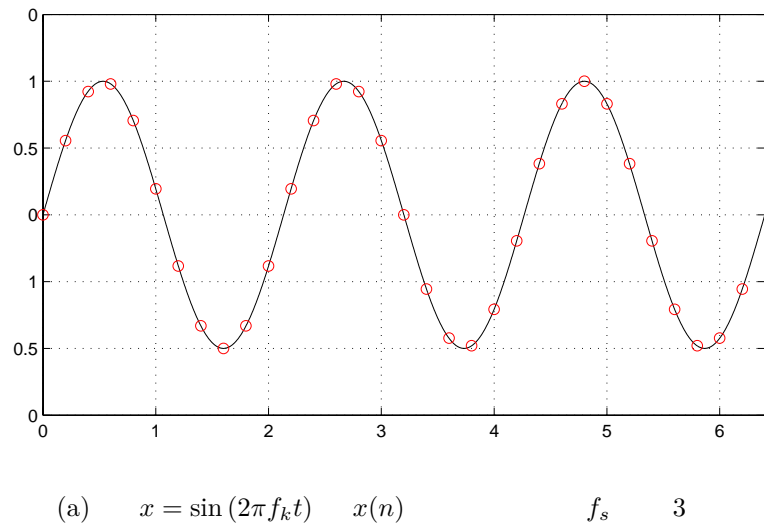
$$\begin{aligned} \frac{N}{f_s} &= \frac{3}{f_k} \\ f_k &= \frac{3f_s}{N} \end{aligned}$$

ซึ่งจะเห็นว่า  $f_k$  มีค่าเท่ากับความถี่วิเคราะหที่  $m = 3$  ดังนั้นพลังงานทั้งหมดของ  $x(t)$  จะไปลงที่ความถี่  $\frac{3f_s}{N}$  เพียงความถี่เดียวจึงไม่มีการรั่ว ดังแสดงในรูปที่ 5

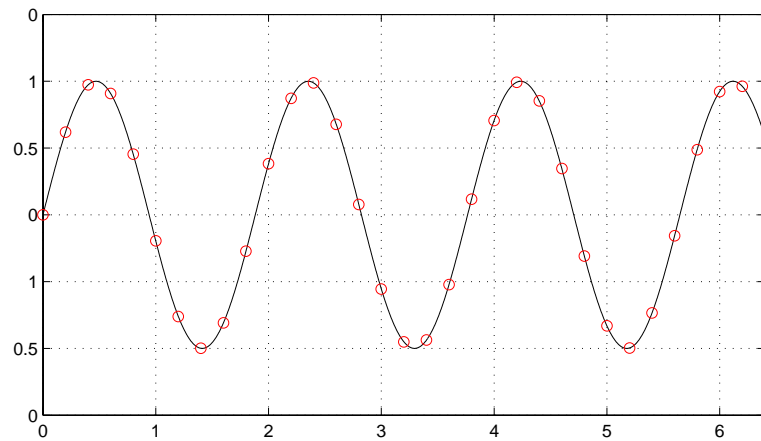
แต่ถ้าจำนวนจุด  $N$  ภายใต้ความถี่การซิกตัวอย่าง  $f_s$  จากระยะเวลาที่ไม่ครบรอบของแต่ละคาบของ  $x(t)$  การรั่วของ DFT จะเกิดขึ้นดังนี้ สมมติให้ระยะเวลาในการซิกตัวอย่างทั้งหมดคือ 3.4 คาบของความถี่  $f_k$  หรือระยะเวลาที่ได้อินพุต  $N$  จุดจากการซิกตัวอย่างด้วยความถี่  $f_s$  คือ  $\frac{3.4}{f_k}$  นั่นคือ

$$\begin{aligned} \frac{N}{f_s} &= \frac{3.4}{f_k} \\ f_k &= \frac{3.4f_s}{N} \end{aligned}$$

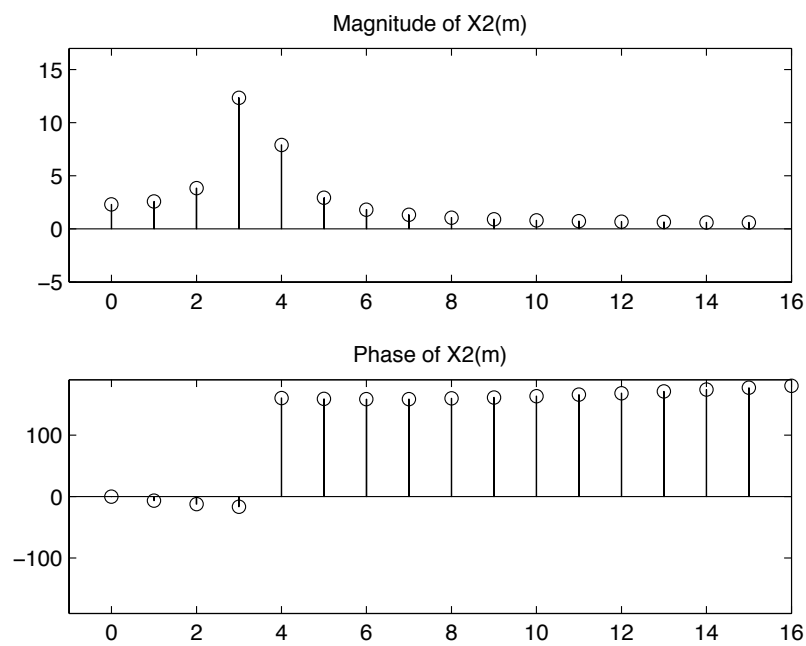
ในกรณีเช่นนี้พลังงานของ  $x(t)$  จะกระจายลงไปยังความถี่วิเคราะหที่อยู่รอบ ๆ ความถี่  $f_k$  โดยความถี่ที่อยู่ใกล้ที่สุดจะได้พลังงานไปมากที่สุด และลดหลั่นลงไปตามระยะห่างจาก  $f_k$  อย่างเช่นในกรณีนี้ พลังงานกระจายลงไปที่ความถี่

(b) DFT  $x$  (a)

รูปที่ 5: DFT ของอินพุตไซน์ความถี่  $f_k$  ในกรณีที่  $f_k = 3f_s/N$  จะไม่มีการรั่ว



(a)  $x = \sin(2\pi f_k t)$   $x(n)$   $f_s = 3.4$



(b) DFT  $x$  (a)

รูปที่ 6: DFT ของอินพุตไซน์ความถี่  $f_k$  ในกรณีที่  $f_k = 3.4f_s/N$  จะมีการรั่ว



$\frac{3f_s}{N}$  มากที่สุด รองลงมาคือความถี่  $\frac{4f_s}{N}$  ตามด้วยความถี่  $\frac{2f_s}{N}$  และความถี่  $\frac{5f_s}{N}$  ตามลำดับ รูปที่ 6 แสดงการกระจายของพลังงานของ  $x(t)$  ที่ความถี่  $f_k$  ไปยังความถี่วิเคราะห์รอบความถี่  $f_k$

ปัญหาการรั่วของ DFT ไม่สามารถขจัดได้ เพราะสัญญาณ  $x(t)$  ใด ๆ อาจมีองค์ประกอบไซน์หลายความถี่ที่ต่อเนื่อง หรืออยู่ใกล้กันมาก จนต้องมีบางความถี่ที่จะเกิดการรั่ว แต่เรามีวิธีที่จะทำให้ผลของมันเบาบาง จนไม่มีผลต่อการวิเคราะห์เลยก็ได้

### 3 Fast Fourier Transform (FFT)

ในหัวข้อ 2 เราได้ตอบคำถามข้อที่หนึ่งที่ตั้งไว้คือ จะใช้ DFT ทำประโยชน์อะไรบ้าง โดยเฉพาะจะใช้ DFT ประมาณสเปกตรัมความถี่ หรือสเปกตรัมกำลังของสัญญาณอินพุต  $x(t)$  ได้อย่างไร ในหัวข้อนี้เราจะตอบคำถามที่สองคือจะคำนวณ DFT อย่างไรให้เร็ว ทั้งนี้เพราะประโยชน์ของ DFT นั้นจะเกิดขึ้นจริงได้ เราต้องใช้ DFT ที่มีจำนวนจุด  $N$  สูงมากพอ แต่ปัญหาของ DFT คือ การคำนวณตามนิยามของ DFT ในสมการที่ (1) นั้นแปรตาม  $N^2$  ดังนั้นถ้าไม่มีวิธีการคำนวณ DFT ให้เร็วพอที่จะคำนวณ DFT ที่  $N$  มีค่าสูง ๆ ได้ภายในเวลาอันสมควรแล้ว DFT ก็ไม่มีประโยชน์แน่นอนว่าเรามีวิธีการคำนวณ DFT ให้เร็วซึ่งวิธีนั้นก็คือใช้อัลกอริธึมชื่อ FFT (Fast Fourier Transform) ในการคำนวณ ดังนั้นในหัวข้อนี้เราจะทำความเข้าใจว่าอัลกอริธึม FFT เป็นอย่างไร ทำไมจึงคำนวณ DFT ได้เร็ว และที่คำนวณได้เร็วนั้นเร็วขนาดไหน

#### 3.1 Cooley-Tukey FFT

FFT ได้รับการคิดค้นโดยนักคณิตศาสตร์ 2 ท่านชื่อ Cooley และ Tukey โดยทั้งสองท่านได้นำเสนอการคิดค้นดังกล่าวต่อสาธารณชนในปี ค.ศ. 1965 หรือปี พ.ศ. 2508 เราเรียกวิธีการคำนวณตามหลักการของ Cooley และ Tukey ว่า Cooley-Tukey FFT หรือ CT-FFT สิ่งที่ทั้งสองท่านนำเสนอมีดังนี้

ให้  $x(n)$  เป็นลำดับเลขเชิงซ้อน หรือลำดับเลขจำนวนจริง จำนวน  $N = 2^k$  จุด โดย  $n = 0, 1, 2, \dots, N-1$  แล้ว  $X(m)$  คือ DFT ของ  $x(n)$  ที่จุด  $m$  โดย  $m = 0, 1, 2, \dots, N-1$  จะได้

$$X(m) = \sum_{n=0}^{N-1} x(n)e^{-j2\pi nm/N} = \sum_{n=0}^{N-1} x(n)W_N^{mn} \quad (30)$$

เมื่อ

$$W_N = e^{-j2\pi 1/N} \quad (31)$$

คือรากที่  $N$  ของ 1 ตัวหลัก (a primitive  $N^{\text{th}}$ -root of unity)

ถ้าเราแบ่งอินพุต  $x(n)$  เป็นสองส่วน โดยส่วนที่หนึ่งเป็นส่วนที่ตัวชี้เป็นเลขคู่ และอีกส่วนหนึ่งเป็นเลขคี่ แล้วเราจะเขียน  $X(m)$  ใหม่ได้ดังนี้

$$\begin{aligned} X(m) &= \sum_{n=0}^{N/2-1} x(2n)W_N^{2mn} + \sum_{n=0}^{N/2-1} x(2n+1)W_N^{(2n+1)m} \\ &= \sum_{n=0}^{N/2-1} x(2n)(W_N^2)^{mn} + \sum_{n=0}^{N/2-1} x(2n+1)W_N^m(W_N^2)^{mn} \end{aligned} \quad (32)$$

และเนื่องจาก

$$W_N^2 = e^{-j2\pi 2/N} = e^{-j2\pi \frac{1}{N/2}} = W_{N/2} \quad (33)$$

ซึ่งคือรากที่  $N/2$  ของ 1 ตัวหลัก (a primitive  $(N/2)^{\text{th}}$ -root of unity) เราจะได้

$$X(m) = \sum_{n=0}^{N/2-1} x(2n)W_{N/2}^{mn} + W_N^m \sum_{n=0}^{N/2-1} x(2n+1)W_{N/2}^{mn} \quad (34)$$

จะเห็นว่า  $\sum_{n=0}^{N/2-1} x(2n)W_{N/2}^{mn}$  และ  $\sum_{n=0}^{N/2-1} x(2n+1)W_{N/2}^{mn}$  คือการคำนวณ (N/2)-point DFT ดังนั้นวิธีการนี้ได้แบ่งการคำนวณ N-point DFT ออกเป็นการคำนวณ (N/2)-point DFT จำนวน 2 ส่วน โดยนำเอา  $W_N^m$  ซึ่งเป็นเลขเชิงซ้อนตัวหนึ่งเรียกว่า twiddle factor ไปคูณกับผลที่ได้จากส่วนที่สอง แล้วนำไปบวกกับส่วนที่ 1 สังเกตว่าในขั้นตอนแรกนี้เป็นการแบ่งตัวชี้  $n$  ออกเป็นสองส่วน

ทำนองเดียวกันเราสามารถแบ่งตัวชี้  $m$  ออกเป็น 2 ส่วนเช่นเดียวกันโดยส่วนแรกคือ  $m = 0, 1, 2, \dots, N/2-1$  ซึ่งใช้การคำนวณตามสมการที่ (34) และส่วนที่สองคือ  $m = N/2, \dots, N-1$  ซึ่งเท่ากับตัวชี้ส่วนนี้จะเป็น  $m + N/2$  เมื่อ  $m$  เป็นตัวชี้ในส่วนแรก พิจารณา  $X(m + N/2)$  โดยแทน  $m$  ด้วย  $m + N/2$  ในสมการที่ (34) ดังนี้

$$\begin{aligned} X(m + N/2) &= \sum_{n=0}^{N/2-1} x(2n)W_{N/2}^{(m+N/2)n} + W_N^{m+N/2} \sum_{n=0}^{N/2-1} x(2n+1)W_{N/2}^{(m+N/2)n} \\ &= \sum_{n=0}^{N/2-1} x(2n)W_{N/2}^{mn}(W_{N/2}^{N/2})^n + W_N^m W_N^{N/2} \sum_{n=0}^{N/2-1} x(2n+1)W_{N/2}^{mn}(W_{N/2}^{N/2})^n \end{aligned}$$

และเนื่องจาก

$$W_{N/2}^{N/2} = e^{-j2\pi} = 1 \quad (35)$$

และ

$$W_N^{N/2} = e^{-j2\pi(N/2)/N} = e^{-j\pi} = -1 \quad (36)$$

เราจะได้

$$X(m + N/2) = \sum_{n=0}^{N/2-1} x(2n)W_{N/2}^{mn} - W_N^m \sum_{n=0}^{N/2-1} x(2n+1)W_{N/2}^{mn} \quad (37)$$

จะเห็นว่าในการคำนวณ  $X(m + N/2)$  นั้น ต่างกับการคำนวณ  $X(m)$  เพียงการนำส่วนหลังไปลบออกจากส่วนหน้า แทนการไปบวก ด้วยวิธีการนี้เราสามารถคำนวณ DFT โดย

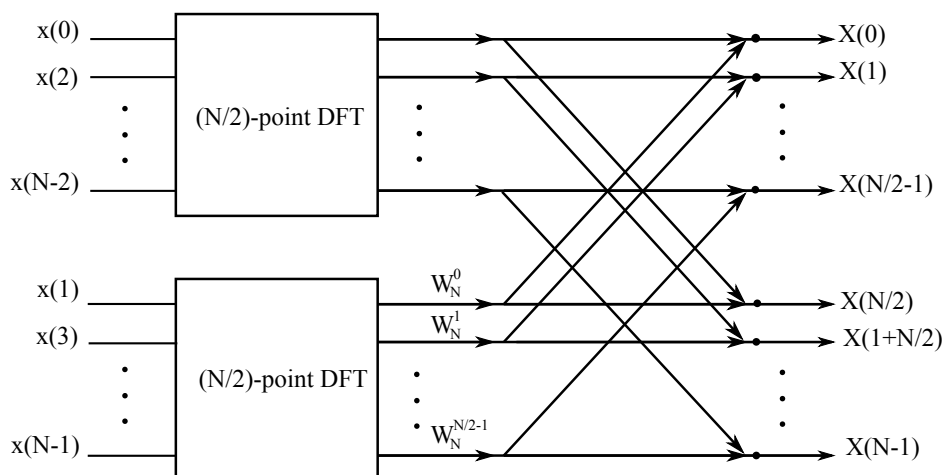
1. ให้  $m = 0$
2. คำนวณ (N/2)-point DFT ที่จุด  $m$  ของอินพุต  $x(n)$  ส่วนที่  $n$  เป็นเลขคู่ ให้ผลลัพธ์คือ  $X_0(m)$
3. คำนวณ (N/2)-point DFT ที่จุด  $m$  ของอินพุต  $x(n)$  ส่วนที่  $n$  เป็นเลขคี่ ให้ผลลัพธ์คือ  $X_1(m)$
4. คูณ  $X_1(m)$  กับ twiddle factor  $W_N^m$  ได้ผลลัพธ์  $W_N^m X_1(m)$
5. คำนวณ  $X(m)$  และ  $X(m + N/2)$  ดังนี้

$$X(m) = X_0(m) + W_N^m X_1(m) \quad (38)$$

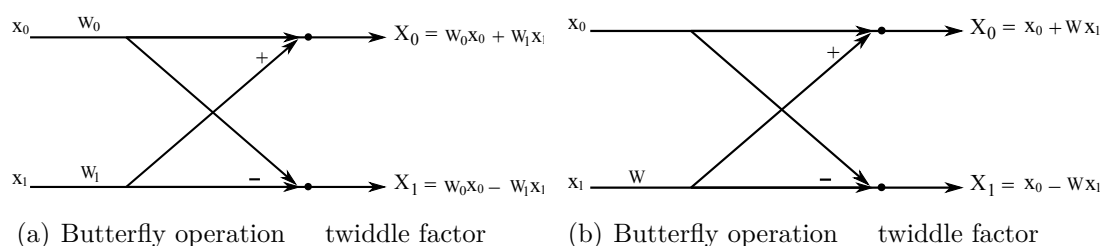
$$X(m + N/2) = X_0(m) - W_N^m X_1(m) \quad (39)$$

6.  $m = m + 1$

7. ถ้า  $m = N/2$  จบ ถ้าไม่ใช่ให้กลับไปขั้นที่ 2



รูปที่ 7: ไดอะแกรมการไหล (dataflow diagram) ของการคำนวณ DFT ตามสมการที่ (34) และ (37)

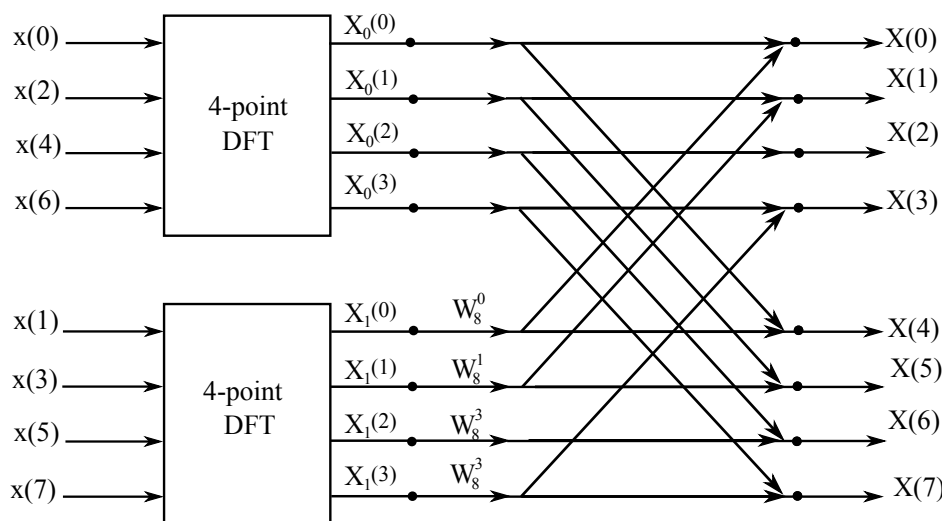


รูปที่ 8: Butterfly operations (a) แบบ twiddle factor ด้านเดียว และ (b) แบบ twiddle factor สองด้าน

รูปที่ 7 แสดงไดอะแกรมการไหล (dataflow diagram) ของการคำนวณ N-point DFT ตามอัลกอริธึมข้างบน หรือตามสมการสมการที่ (34) และ (37) เราเรียกการคำนวณในสมการที่ (38) และ (39) ว่า butterfly operation ซึ่งสามารถแสดงได้ด้วยไดอะแกรมการไหล (dataflow diagram) ได้ดังรูปที่ 8

Butterfly operations ในรูปทั่วไปจะมีการคูณด้วย twiddle factor ทั้งด้านอินพุต  $x_0$  และอินพุต  $x_1$  ดังแสดงในรูปที่ 8(a) แต่ในการคำนวณ FFT ของ Cooley-Tukey นั้น twiddle factor ที่คูณอยู่กับ  $x_0$  คือ  $W_0$  ในรูปจะมีค่าเป็น 1 ซึ่งจะได้ butterfly operation ดังแสดงในรูปที่ 8(b)

หัวใจสำคัญของการคำนวณตามอัลกอริธึมข้างบนก็คือ เราสามารถใช้วิธีการนี้กับการคำนวณ (N/2)-point DFT ซึ่งแบ่งเป็นการคำนวณ (N/4)-point DFT สองส่วน และเนื่องจาก มี (N/2)-point DFT สองส่วน เราจะได้การคำนวณ (N/4)-point DFT ทั้งหมด 4 ส่วน และถ้า  $N/4 \neq 2$  เราสามารถแบ่งต่อไปจนกว่า จะได้การคำนวณแต่ละส่วนเป็น 2-point DFT และ butterfly operations นอกจากนี้ 2-point DFT เองก็คำนวณด้วย butterfly operations ทำให้ผลจากการแบ่งจนถึง 2-point DFT เราจะได้การคำนวณ DFT จากการคำนวณ butterfly operations จำนวน  $\frac{N/2}{\log_2 2} N$  ครั้ง เข้าใจว่าคงนึกภาพดังกล่าวยังไม่ออก เราจะใช้ตัวอย่างกรณีที่  $N = 8 = 2^3$  เพื่อการทำความเข้าใจ



รูปที่ 9: ไดอะแกรมการไหล (dataflow diagram) ของการคำนวณ 8-point DFT หลังทำการแบ่งเป็น 4-point DFT สองส่วน

### 3.1.1 ตัวอย่าง: FFT ขนาด 8 จุด (8-point FFT)

การคำนวณ FFT ขนาด 8 จุดก็คือ การคำนวณ 8-point DFT ด้วยอัลกอริธึม FFT ในการแบ่งครั้งแรกตามสมการที่ (34) และ (37) เราจะได้

$$X(m) = \sum_{n=0}^3 x(2n)W_4^{mn} + W_8^m \sum_{n=0}^3 x(2n+1)W_4^{mn} = X_0(m) + W_8^m X_1(m) \quad (40)$$

$$X(m+4) = \sum_{n=0}^3 x(2n)W_4^{mn} - W_8^m \sum_{n=0}^3 x(2n+1)W_4^{mn} = X_0(m) - W_8^m X_1(m) \quad (41)$$

โดย

- $X_0(m)$  เป็น DFT ขนาด 4 จุดของ  $x(0), x(2), x(4), x(6)$  และ
- $X_1(m)$  เป็น DFT ขนาด 4 จุดของ  $x(1), x(3), x(5), x(7)$

รูปที่ 9 แสดงไดอะแกรมการไหลหลังการแบ่ง 8-point DFT เป็น 4-point DFT 2 ส่วน และ butterfly operations เพื่อรวมทั้งสองส่วนเข้าด้วยกัน

สำหรับ  $X_0(m)$  เราจะได้จากการแบ่ง 4-point DFT เป็น 2-point DFT สองส่วนดังนี้

$$\begin{aligned} X_0(m) &= \sum_{n=0}^1 x(4n)W_2^{mn} + W_4^m \sum_{n=0}^1 x(4n+2)W_2^{mn} \\ &= X_{0,0}(m) + W_4^m X_{0,1}(m) \end{aligned} \quad (42)$$

$$\begin{aligned} X_0(m+2) &= \sum_{n=0}^1 x(4n)W_2^{m+2n} - W_4^m \sum_{n=0}^1 x(4n+2)W_2^{m+2n} \\ &= X_{0,0}(m) - W_4^m X_{0,1}(m) \end{aligned} \quad (43)$$

โดย

- $X_{0,0}(m)$  เป็น DFT ขนาด 2 จุดของ  $x(0), x(4)$
- $X_{0,1}(m)$  เป็น DFT ขนาด 2 จุดของ  $x(2), x(6)$

ทำนองเดียวกันสำหรับ  $X_1(m)$  เราจะได้

$$\begin{aligned} X_1(m) &= \sum_{n=0}^1 x(4n+1)W_2^{mn} + W_4^m \sum_{n=0}^1 x(4n+3)W_2^{mn} \\ &= X_{1,0}(m) + W_4^m X_{1,1}(m) \end{aligned} \quad (44)$$

$$\begin{aligned} X_1(m+2) &= \sum_{n=0}^1 x(4n+1)W_2^{m+2n} - W_4^m \sum_{n=0}^1 x(4n+3)W_2^{m+2n} \\ &= X_{1,0}(m) - W_4^m X_{1,1}(m) \end{aligned} \quad (45)$$

โดย

- $X_{1,0}(m)$  เป็น DFT ขนาด 2 จุดของ  $x(1), x(5)$
- $X_{1,1}(m)$  เป็น DFT ขนาด 2 จุดของ  $x(3), x(7)$

พิจารณา 2-point DFT โดยมี  $x(0)$  และ  $x(1)$  เป็นอินพุต ตามนิยามเราจะได้

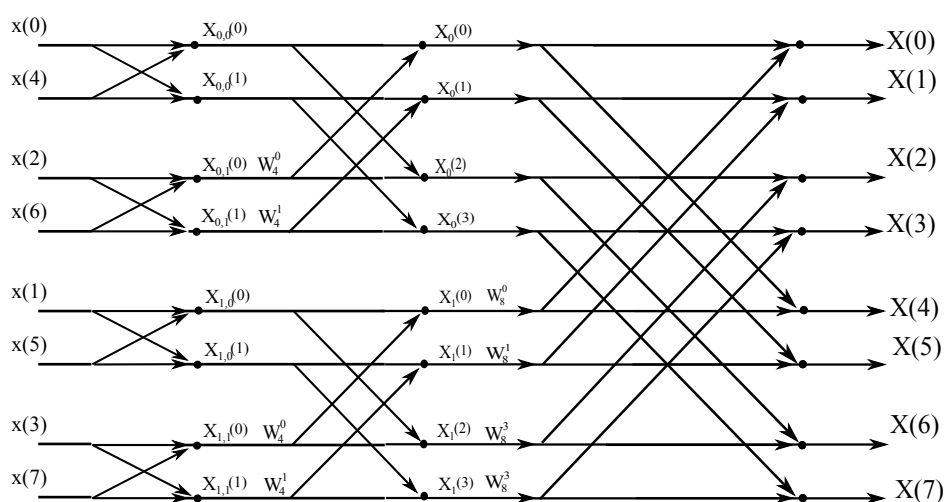
$$X(0) = \sum_{n=0}^1 x(n)W_2^{0n} = x(0) + x(1) \quad (46)$$

$$X(1) = \sum_{n=0}^1 x(n)W_2^n = x(0) - x(1)W_2 = x(0) - x(1) \quad (47)$$

เพราะ  $W_2 = e^{-j2\pi(1/2)} = e^{-j\pi} = -1$  ซึ่งจะทำให้เราหา 2-point DFT ได้จาก butterfly operation ที่มี twiddle factor เท่ากับ 1 ดังนั้น เราจะได้

$$\begin{aligned} X_{0,0}(0) &= x(0) + x(4) \\ X_{0,0}(1) &= x(0) - x(4) \\ X_{0,1}(0) &= x(2) + x(6) \\ X_{0,1}(1) &= x(2) - x(6) \\ X_{1,0}(0) &= x(1) + x(5) \\ X_{1,0}(1) &= x(1) - x(5) \\ X_{1,1}(0) &= x(3) + x(7) \\ X_{1,1}(1) &= x(3) - x(7) \end{aligned}$$

ซึ่งได้จาก butterfly operations จำนวน 4 ตัว แต่ละตัวมี twiddle factors เท่ากับ 1



รูปที่ 10: ไดอะแกรมการไหล (dataflow diagram) ของการคำนวณ 8-point DFT ด้วยวิธี Cooley-Tukey FFT ขนาด 8 จุด

ผลจากการคำนวณ 2-point DFT ทั้ง 8 ค่าจะถูกนำไปคำนวณ  $X_0(m)$  และ  $X_0(m+2)$  สำหรับ  $m = 0, 1$  และคำนวณ  $X_1(m)$  และ  $X_1(m+2)$  สำหรับ  $m = 0, 1$  ตามสมการที่ (42) ถึงสมการที่ (45) ซึ่งจะได้ผลลัพธ์

เป็น

$$\begin{aligned}
 X_0(0) &= X_{0,0}(0) + W_4^0 X_{0,1}(0) = X_{0,0}(0) + X_{0,1}(0) \\
 X_0(2) &= X_{0,0}(0) - W_4^0 X_{0,1}(0) = X_{0,0}(0) - X_{0,1}(0) \\
 X_0(1) &= X_{0,0}(1) + W_4^1 X_{0,1}(1) = X_{0,0}(1) - jX_{0,1}(1) \\
 X_0(4) &= X_{0,0}(1) - W_4^1 X_{0,1}(1) = X_{0,0}(1) + jX_{0,1}(1) \\
 \\ 
 X_1(0) &= X_{1,0}(0) + W_4^0 X_{1,1}(0) = X_{1,0}(0) + X_{1,1}(0) \\
 X_1(2) &= X_{1,0}(0) - W_4^0 X_{1,1}(0) = X_{1,0}(0) - X_{1,1}(0) \\
 X_1(1) &= X_{1,0}(1) + W_4^1 X_{1,1}(1) = X_{1,0}(1) - jX_{1,1}(1) \\
 X_1(4) &= X_{1,0}(1) - W_4^1 X_{1,1}(1) = X_{1,0}(1) + jX_{1,1}(1)
 \end{aligned}$$

ซึ่งได้จาก butterfly operations จำนวน 4 ตัวเช่นเดียวกัน โดย 2 ตัวมี twiddle factor เท่ากับ  $W_4^0 = 1$  ส่วนอีกสองตัวมี twiddle factor เท่ากับ  $W_4 = e^{-j2\pi/4} = e^{-j\pi/2} = -j$

ผลจากการคำนวณ 2-point DFT ทั้ง 8 ค่าจะถูกนำไปคำนวณ  $X(m)$  และ  $X_0(m+4)$  สำหรับ  $m = 0, 1, 2, 3$  ตามสมการที่ (40) และสมการที่ (41) ซึ่งจะได้ผลลัพธ์เป็น

$$\begin{aligned}
 X(0) &= X_0(0) + W_8^0 X_1(0) \\
 X(4) &= X_0(0) - W_8^0 X_1(0) \\
 X(1) &= X_0(1) + W_8^1 X_1(1) \\
 X(5) &= X_0(1) - W_8^1 X_1(1) \\
 X(2) &= X_0(2) + W_8^2 X_1(2) \\
 X(6) &= X_0(2) - W_8^2 X_1(2) \\
 X(3) &= X_0(3) + W_8^3 X_1(3) \\
 X(7) &= X_0(3) - W_8^3 X_1(3)
 \end{aligned}$$

ซึ่งได้จาก butterfly operations จำนวน 4 ตัวที่มี twiddle factors เท่ากับ  $W_8^m$ ,  $m = 0, 1, 2, 3$

เราเขียนไดอะแกรมการไหลของการคำนวณ 8-point FFT นี้ได้ตามแสดงในรูปที่ 10 โดยอินพุต  $x(n)$  มาทางด้านซ้ายเข้าสู่ butterfly operations สำหรับการคำนวณ 2-point DFT จำนวน 4 ตัว ผลลัพธ์ที่ได้ก็คือ  $X_{0,0}(m)$ ,  $X_{0,1}(m)$ ,  $X_{1,0}(m)$  และ  $X_{1,1}(m)$  สำหรับ  $m = 0, 1$  เราเรียกการคำนวณนี้ว่าเป็น stage 1 ผลลัพธ์จาก stage 1 จะเป็นอินพุตให้กับ butterfly operations จำนวน 4 ตัวใน stage 2 และผลจาก stage 2 ก็จะเป็นอินพุตให้กับ butterfly operations จำนวน 4 ตัวของ stage 3 จากรูปที่ 10 เราจะได้

$$\text{จำนวน butterfly operations แต่ละ stage} = N/4 \quad (48)$$

$$\text{จำนวน stages} = \log_2 N = \log_2 2^k = k \quad (49)$$

$$\text{จำนวน butterfly operations ทั้งหมด} = \frac{N}{2} \log_2 N = \frac{N}{2} \log_2 2^k = \frac{kN}{2} \quad (50)$$



เนื่องจาก butterfly operation หนึ่งตัวมีการคูณเลขเชิงซ้อน 1 ครั้งและการบวกเลขเชิงซ้อน 2 ครั้ง ในการคำนวณ N-point DFT ด้วย N-point FFT มีการคูณเลขเชิงซ้อนทั้งหมด  $\frac{N}{2} \log_2 N$  และมีการบวกเลขเชิงซ้อน  $N \log_2 N$  ครั้ง สำหรับการคำนวณตามนิยาม การคำนวณ DFT หนึ่งจุดต้องทำการคูณเลขเชิงซ้อนจำนวน N ครั้งและทำการบวก N-1 ครั้ง ดังนั้นการคำนวณ N-point DFT ตามนิยามต้องใช้การคูณทั้งหมด  $N^2$  ครั้ง และการบวกทั้งหมด  $(N-1)^2$  ตารางที่ 8 เปรียบเทียบปริมาณการคูณและบวกระหว่างการคำนวณ N-point DFT ตามนิยาม และการคำนวณด้วย N-point FFT

ตารางที่ 8: เปรียบเทียบปริมาณการคูณและการบวกเลขเชิงซ้อนสำหรับการคำนวณ DFT ตามนิยามและการคำนวณด้วย

FFT

$k$	$N = 2^k$	จำนวนครั้งของการบวก			จำนวนครั้งของการคูณ		
		ตามนิยาม	FFT	นิยาม/FFT	ตามนิยาม	FFT	นิยาม/FFT
4	16	225	64	3.5	256	32	8
6	64	3969	384	10.3	4096	192	21.3
8	256	65025	2048	31.8	65536	1024	64
10	1024	$1.04 \times 10^6$	$1.02 \times 10^4$	102.2	$1.05 \times 10^6$	$5.12 \times 10^3$	204.8
12	4096	$1.68 \times 10^7$	$4.92 \times 10^4$	341.2	$1.68 \times 10^7$	$2.46 \times 10^4$	682.7
14	16384	$2.68 \times 10^8$	$2.29 \times 10^5$	$1.17 \times 10^3$	$2.68 \times 10^8$	$1.15 \times 10^5$	$2.34 \times 10^3$
16	65536	$4.29 \times 10^9$	$1.05 \times 10^6$	$4.09 \times 10^3$	$4.29 \times 10^9$	$5.24 \times 10^5$	$8.19 \times 10^3$
18	262144	$6.87 \times 10^{10}$	$4.72 \times 10^6$	$1.45 \times 10^4$	$6.87 \times 10^{10}$	$2.36 \times 10^6$	$2.91 \times 10^4$
20	1048576	$1.10 \times 10^{12}$	$2.10 \times 10^7$	$5.24 \times 10^4$	$1.10 \times 10^{12}$	$1.05 \times 10^7$	$1.05 \times 10^5$